#### МИНИСТЕРСТВО ОБРАЗОВАНИЯ И НАУКИ РОССИЙСКОЙ ФЕДЕРАЦИИ

федеральное государственное бюджетное образовательное учреждение высшего образования

## «Тольяттинский государственный университет» ИНСТИТУТ ХИМИИ И ИНЖЕНЕРНОЙ ЭКОЛОГИИ Кафедра «Химия, химические процессы и технологии»

#### БАКАЛАВРСКАЯ РАБОТА

## на тему «РАЗРАБОТКА УЗЛА СИНТЕЗА И ВЫДЕЛЕНИЯ МЕТАНОЛА ПРОИЗВОДИТЕЛЬНОСТЬЮ 500 ТЫС. ТОНН/ГОД»

по направлению подготовки 18.03.01 "Химическая технология" профиль «Химическая технология органических веществ»

Руководитель: к.х.н., доцент

«\_\_\_»\_\_ 20 г.

Допустить к защите:
Заведующий кафедрой д.х.н., профессор Г.И. Остапенко

Студент группы ХТб - 1201 А.А. Фомова

В.Е. Стацюк

#### МИНИСТЕРСТВО ОБРАЗОВАНИЯ И НАУКИ РОССИЙСКОЙ ФЕДЕРАЦИИ

федеральное государственное бюджетное образовательное учреждение высшего образования

«Тольяттинский государственный университет»

# ИНСТИТУТ ХИМИИ И ИНЖЕНЕРНОЙ ЭКОЛОГИИ Кафедра «Химия, химические процессы и технологии» УТВЕРЖДАЮ

Заведующий кафедрой

		Г.И. Остапенко
	(полинет)	-
	(подпись)	(И.О. Фамилия) г.
	<u>"</u>	201.
3A	ДАНИЕ	
	Бакалаврской работн	J
22	zwiwiwzponon pwoorz	-
Студенту Фомовой Анастасии Алекс	сандровне.	
1. Тема: Разработка узла синтеза и в		
производительностью 500 тыс. тонн/г		
2. Срок предоставления законченно		27 июня 2016 г.
3. Исходные данные к проекту (ра	аботе): <u>Мощность у</u>	установки синтеза
метанола 450 тыс. тонн/год ОАО	«Тольяттиазот».	
4. Содержание текстового док		ь подлежащих
разработке вопросов) Теоретичес	кая часть. Обзор	по методам и
технологическим особенностям метал	нола, конструктивні	ым особенностям
оборудования технологичес	кого процесса.	Технологическая
часть – выбор варианта для оптими	зации работы у	зла синтеза и
выделения метанола, расчет матері	иального и теплово	ого балансов на
повышенной нагрузке, модернизация	я или подбор новог	о оборудования.
5. Перечень графического ма	<b>териала</b> (с точі	ным указанием
обязательных чертежей)		
5.1 Химизм гидросероочистки природ	цного газа	
5.2 Химизм получения метанола		
5.3 Технологическая схема узла синте	еза метанола	
5.4 Технологическая схема узла выдел	пения метанола	
5.5 Таблицы материального и теплово	ого баланса	
5.6 Чертеж теплообменника		
6. Дата выдачи задания на выполнени	е Бакалаврской раб	<u> ОТЫ —</u>
<u>26.02.2016г.</u>		
Руководитель выпускной		
квалификационной работы		В.Е. Стацюк
-	(подпись)	(И.О. Фамилия)
Задание принял к исполнению		А.А. Фомова
- -	(подпись)	(И.О. Фамилия)

#### МИНИСТЕРСТВО ОБРАЗОВАНИЯ И НАУКИ РОССИЙСКОЙ ФЕДЕРАЦИИ

федеральное государственное бюджетное образовательное учреждение высшего образования

«Тольяттинский государственный университет»

#### ИНСТИТУТ ХИМИИ И ИНЖЕНЕРНОЙ ЭКОЛОГИИ

Кафедра «Химия, химические процессы и технологии»

УТВЕРЖДАЮ

Заведующий кафедрой

 (подпись)
 Г.И. Остапенко

 (И.О. Фамилия)

 20
 г.

### КАЛЕНДАРНЫЙ ПЛАН

#### бакалаврской работы

Студента: Фомовой Анастасии Александровны

по теме: Разработка узла синтеза и выделения метанола

производительностью 500 тыс. тонн в год.

Наименование раздела	Плановый	Фактический	Отметка о	Подпись
работы	срок	срок	выполнении	руководителя
	выполнения	выполнения		
	раздела	раздела		
Введение	26.02.2016	26.02.2016	Выполнено	
Теоретическая часть	15.04.2016	20.04.2016	Выполнено	
Технологическая часть	10.05.2016	11.05.2016	Выполнено	
Расчетная часть	25.05.2016	25.05.2016	Выполнено	
Выполнение чертежей:	30.05.2016	1.06.2016	Выполнено	
Выполнение плакатов	5.06.2016	5.06.2016	Выполнено	
Заключение	10.06.2016	11.06.2016	Выполнено	
Предварительная	15-	21.06.2016	Выполнено	
защита	18.06.2016			
Оформление работы	18-	23.06.2016	Выполнено	
	26.06.2016			

Руководитель выпускной		В.Е. Стацюк
квалификационной работы	(подпись)	(И.О. Фамилия)
Задание принял к исполнению		А.А. Фомова
•	(подпись)	(И.О. Фамилия)

#### **АННОТАЦИЯ**

Бакалаврская работа 68 с., 6 рисунков, 15 таблиц, использовано 30 источников, 6 л. графического материала.

СИНТЕЗ-ГАЗ, МЕТАНОЛ, МЕТИЛОВЫЙ СПИРТ, КОЛОННА СИНТЕЗА, МЕДЬЦИНКОВЫЙ КАТАЛИЗАТОР, НИЗКОТЕМПЕРАТУРНЫЙ СИНТЕЗ, МЕТАНОЛ-СЫРЕЦ, РЕКТИФИКАЦИЯ, МЕТАНОЛ-РЕКТИФИКАТ.

Объектом исследования является установка синтеза метанола мощностью 450 тыс. тонн в год ОАО «Тольяттиазот».

Цель работы — разработка блока синтеза и выделения метанола производительностью 500 тыс. тонн в год, а задача — расчет материального и теплового балансов и разработка технологической схемы синтеза и выделения метанола.

Графическая часть выполнена на 6 листах и включает химизм процесса гидросероочистки природного газа и синтеза метанола, технологическую схему синтеза метанола — сырца, технологическую схему выделения метанола — ректификата, таблицы материального и теплового балансов, общий вид теплообменника.

В теоретической части рассмотрены физико-химические основы процесса синтеза метанола, параметры и применяемые катализаторы. Проведено описание технологических узлов синтеза и выделения нескольких компаний и реакторных систем синтеза.

Проведены расчеты материальных и тепловых балансов при работе установки на повышенной нагрузке, на основании которых был осуществлен подбор оборудования.

Бакалаврская работа выполнена в текстовом редакторе Microsoft Word 10.0 и представлена на электронном носителе.

Расчеты выполнены в программе Mathcad 14.0, графическая часть выполнена в программе КОМПАС – 3D V15.

## СОДЕРЖАНИЕ

ВВЕДЕНИЕ	6
1 ТЕОРЕТИЧЕСКАЯ ЧАСТЬ	8
1.1 Гидросероочистка природного газа	8
1.2 Получение синтез – газа пароуглекислотной конверсией	10
1.3 Физико-химические основы синтеза метанола	11
1.4 Синтез метанола	14
1.4.1 Обычные промышленные процессы синтеза метанола	15
1.4.2 Крупномасштабное производство	19
1.5 Выделение метанола – ректификата	22
1.5.1 Малозатратная дистилляция	23
1.5.2 Энергосберегающая дистилляция	24
2 ТЕХНОЛОГИЧЕСКАЯ ЧАСТЬ	25
2.1 Характеристика сырья и готового продукта	25
2.2 Разработка и описание аппаратурно-технологической схемы	
производства	28
2.2.1 Синтез метанола	28
2.2.2 Ректификация метанола	31
3 РАСЧЕТНАЯ ЧАСТЬ	37
3.1 Материальный расчет стадии синтеза метанола	37
3.2 Технологический расчет реактора синтеза метанола	46
3.3 Тепловой расчет	46
3.4 Расчет теплообменника	53
ЗАКЛЮЧЕНИЕ	59
СПИСОК ИСПОЛЬЗОВАННОЙ ЛИТЕРАТУРЫ	60
припожения	63

#### ВВЕДЕНИЕ

Метанол (метиловый спирт) является одним из важнейших продуктов органического синтеза. Основными областями применения метанола в органическом синтезе являются следующие:

- 1. Синтез формальдегида и его производных (муравьиная кислота, диоксаны, изопрен)
- 2. Синтез уксусной кислоты
- 3. Синтез энергонасыщенных и высокооктановых соединений (диметиловый эфир, метил-трет-бутиловый и метил изоамиловый простые эфиры)
- 4. Синтез сложных эфиров мономеров (метилакрилат, метилметакрилат, метилтерефталат)
- 5. Синтез различных метиламинов (реактивная техника)
- 6. Применение метанола в качестве горючего компонента в двигателях внутреннего сгорания
- 7. Применение метанола в качестве растворителя в тонком органическом синтезе (производство лекарственных, косметических средств и красителей)

Одним из первых способов получения метанола является сухая перегонка древесины. Все современные способы получения метанола базируются на технологиях, связанных с конверсией метана в синтез — газ с последующим превращением последнего в метанол. Процессы синтеза метанола протекают при повышенных давлениях в присутствии твердых катализаторов, природа которых в значительной мере и определяет рабочее давление процесса и механизм реакции синтеза.

В Российской Федерации крупнейшими производителями метанола являются ОАО «Метафракс» (г. Губаха), ООО «Сибметахим» (г. Томск),

ОАО «Тольяттиазот», ОАО «Акрон» (г. Великий Новгород), ОАО «Щекиноазот» (г. Щекино) и др.

По данным 2014 года ОАО «Тольяттиазот» входит в тройку основных производителей метанола в России. Мощность производства метанола составляет 450 тыс. тонн в год [1].

#### 1 ТЕОРЕТИЧЕСКАЯ ЧАСТЬ

#### 1.1 Гидросероочистка природного газа

Исходным сырьем для получения метанола является природный газ (метан). Обычно в нём присутствуют серосодержащие соединения (меркаптаны, сероводород и сульфиды, тиофены и др.), которые, в свою очередь, являются ядами для катализаторов дальнейшей конверсии метана и синтеза метанола.

Очистка природного газа от соединений, содержащих серу, осуществляется в две стадии. Первой стадией является каталитическое гидрирование серосодержащих соединений на алюмокобальтмолибденовом катализаторе [1], которое протекает при температуре не более 400 °C и давлении не более 3,4 МПа, с образованием сероводорода. К катализаторам гидрирования предъявляются следующие требования:

- Высокая активность;
- Высокая селективность;
- Относительно высокая продолжительность работы (пробег).
- Термостойкость (продолжительность работ без спекания);
- Высокая механическая прочность;
- Стойкость к действию контактных ядов;
- Малая стоимость.

В состав катализатора входят: собственно каталитические вещества; промоторы, способствующие увеличению активности катализатора; носители-вещества, на которые наносится каталитическая контактная масса. Катализатор гидрирования состоит из окиси кобальта (CoO) и окиси молибдена (MoO<sub>3</sub>), нанесенный на окиси алюминия (Al<sub>2</sub>O<sub>3</sub>). Катализатор

загружается в окисной форме, его высшая активность достигается после сульфидирования, когда часть окиси молибдена и кобальта переходит в сульфиды —  $MoS_2$  и  $CoS_2$ . Активной частью катализатора является сульфид молибдена ( $MoS_2$ ), а промотором и веществом, препятствующим спеканию катализатора, является окись кобальта (CoO). Основные реакции процесса гидросероочистки [1]:

- RSH + $H_2 \rightarrow RH + H_2S$
- R -S -R' +2H<sub>2</sub>  $\rightarrow$  RH + H<sub>2</sub>S + R'H
- R -S -S -R' +  $3H_2 \rightarrow RH + 2H_2S + R'H$
- $COS + H_2 \rightarrow CO + H_2S$

где: R,R' – углеводородные радикалы.

Следующая ступень заключается в химической адсорбции образовавшегося сероводорода твердым поглотителем в виде ZnO с образованием сульфида цинка и воды [1]:

$$H_2S + ZnO \rightarrow ZnS + H_2O$$

ZnO частично вступает в реакцию с непрореагировавшими углеводородами содержащими серу [1]:

- $2ZnO + CS_2 = 2ZnS + CO_2$
- $ZnO + COS = ZnS + CO_2$
- $ZnO + C_2H_5SH = ZnS + C_2H_5OH$

Равновесие этих реакций смещается в сторону образования сульфида цинка ZnS. После двухстадийной сероочистки, сырье имеет остаточное содержание сернистых соединений не более 0,2 ppm и далее поступает на стадию конверсии метана [1].

#### 1.2 Получение синтез – газа пароуглекислотной конверсией

Основным методом переработки метана на ОАО «Тольяттиазот» является пароуглекислотная конверсия. Для этого, обессеренное сырье с температурой 360 – 400 °C и давлением 1,2 – 3,4 МПа сначала смешивается с паром среднего давления. Затем, чтобы достичь синтез – газу более сбалансированного состава водород/углерод для синтеза метанола, в смесь природный газ/пар вводят двуокись углерода. Затем смешанное сырьё нагревается в блоке теплоизолирующей аппаратуры (БТА) конвективной печи до 530 – 590 °C и поступает в каталитические трубы (зона катализа), где осуществляется конверсия смеси до синтез – газа [1].

Пароуглекислотная конверсия метана проводится в трубчатой печи риформинга при температуре 880 °C и давлении 2,4 МПа. Печь риформинга — это прямоугольная конструкция, которая включает в себя вертикально поддерживаемые трубы, заполненные никелевым катализатором. В ней происходит преобразование исходного сырья в смесь оксида углерода, диоксида углерода, водорода, метана и воды [2].

В процессе конверсии метан окисляется водяным паром и двуокисью углерода по следующим реакциям [2]:

$$CH_4 + H_2O \rightarrow CO + 3H_2 - (206 кДж/моль)$$
 (1.2.1)

$$CH_4 + CO_2 \rightarrow 2CO + 2H_2 - (247 кДж/моль)$$
 (1.2.2)

$$CO + H_2O \rightarrow CO_2 + H_2 + (41,0 \text{ кДж/моль})$$
 (1.2.3)

На выходе из трубчатой печи риформинга, состав обычно близок к равновесному и зависит от температуры на выходе установки, мольных соотношений пар/углерод и давления [5]. Если количество подаваемого в установку пара недостаточно, то протекают побочные реакции с образованием углерода. Основными веществами, образующимися в

процессе пароуглекислотной конверсии, являются  $H_2$ , CO,  $CO_2$ ,  $H_2O$ ,  $CH_4$  и твердые отложения углерода.

Отложение углерода неблагоприятно сказывается на катализаторе. Сначала он дезактивирует катализатор, затем вызывает разрушение его гранул и приводит к частичной или полной блокировке реакционного потока в слое катализатора, который заполняет трубное пространство. В итоге возникают участки локального перегрева. Перегрев труб возникает вследствие неравномерного распределения потока в слое катализатора. Поэтому процесс конверсии метана необходимо осуществлять на незауглероживаемом катализаторе, что особенно важно при получении синтез – газа с низким соотношением водород/окись углерода.

Предотвращение отложения углерода на гранулах катализатора является одной из наиболее существенных проблем стадии конверсии.

Данная реакция приводит к отложению тонкодисперсного углерода на поверхности гранул катализатора при повышенном парциальном давлении оксида углерода. Данные отложения снижают активность катализатора. К выпадению тонкодисперсного углерода в порах катализатора и механическому разрушению гранул приводит снижение соотношения пар/газ менее 2,0. Следовательно, очень важно, чтобы на всех стадиях подачи исходного сырья обеспечивался достаточный избыток пара [5].

#### 1.3 Физико-химические основы синтеза метанола

Реакция образования метанола из оксида углерода (II) и водорода протекает с выделением тепла и уменьшением объема [3]:

$$CO + 2H_2 \rightleftarrows CH_3OH + 90,73 кДж$$
 (1.3.1)

Но, в 1973 – 75 гг. учеными Института нефтехимического синтеза РАН им. А.В. Топчиева был предложен и экспериментально доказан принципиально новый механизм образования метанола из оксидов углерода и водорода [4]:

$$CO + H_2O \rightleftarrows CO_2 + H_2 \tag{1.3.2}$$

$$CO_2 + 3H_2 \rightleftarrows CH_3OH + H_2O \tag{1.3.3}$$

Согласно ему на оксидных катализаторах метанол образуется только из диоксида углерода и водорода (1.3.3). Диоксид может находиться в исходной газовой смеси и/или образовываться при конверсии монооксида углерода водяным паром (1.3.2). При этом наблюдается рецикл по воде: вода образуется в реакции (1.3.3) и расходуется в (1.3.2).

Совокупность этих реакций может быть представлена схемой [3]:

$$CO \xleftarrow{H_2O} CO_2 \xleftarrow{3H_2} CH_3OH$$
 (1.3.4)

Особенностью данной схемы является окислительновосстановительный характер синтеза метанола и его цикличность. Процесс протекает благодаря переносу кислорода молекулами воды между оксидами углерода. А образующаяся вода по реакции (1.3.3), потребляется на стадии конверсии СО (1.3.2). Следовательно, образование метанола из СО и  $H_2$  происходит только через промежуточную стадию конверсии СО водяным паром в  $CO_2$ .

Но, вместе с тем, предложенная схема (1.3.4) не является универсальной и, по – видимому, не реализуется на металлических катализаторах (Ni, Co, Pt, Fe и др.).

Таким образом, для наиболее важных медьсодержащих катализаторов, используемых в промышленности, и для газовых смесей  $H_2$ , CO,  $CO_2$  самого разного состава (т.е. от смеси с преобладанием CO, до смеси не содержащей CO) доказано, что синтез метанола протекает по одному и тому же механизму, описанному выше. Поэтому в качестве сырья могут использоваться газовые смеси ( $H_2$ , CO,  $CO_2$ ) самого разного состава.

При работе на низкотемпературных медьсодержащих катализаторах давление поддерживается в пределах 5-10МПа, температура процесса 210-280 °C, мольное соотношение  $H_2$ :CO = (5-7):1. Обязательным условием для успешной работы данных катализаторов является присутствие в газовой смеси диоксида углерода примерно 2-5 % (об.). Это необходимо для поддержания активности низкотемпературных катализаторов.

Основным механизмом для дезактивации катализатора синтеза метанола является отравление медьсодержащих катализаторов примесями серы и хлоридов, содержащихся в исходном газе. Любой компонент в подаваемом газе, который вступает в реакцию с медью, действует как яд. Содержание серы в синтез-газ (или циркуляции азота) в виде сероводорода, должно быть меньше, чем 0,05 объемных ррт. Если содержание серы на катализаторе, превышает 0,8 % (масс.), то он полностью дезактивируется.

Хлор в любой форме, такой как  $Cl_2$ , HCl, или R-Cl, является сильным ядом для катализатора синтеза метанола [4]. Хлорид меди быстро спекается, что снижает площадь активной поверхности меди в катализаторе. Хлор должен быть полностью исключен из системы. Его содержание в синтез-газе должно быть на не выявляемом уровне. Хлориды, содержащиеся на катализаторе более чем 500ppm по массе, полностью его дезактивируют.

Кроме того, твердые частицы, такие как пыль, содержащаяся в исходном веществе и следы металлов, физически блокируют поверхность катализатора и могут привести к преждевременной дезактивации катализатора. Железо и другие тяжелые металлы, также блокируют активные центры катализатора, тем самым снижая его активность. Никель тоже негативно влияет на производительность катализатора. Следует избегать любых остатков смазочного масла, так, как хорошо известно, что

эти тяжелые углеводороды обладают деактивирующим воздействием на катализаторы синтеза метанола [4].

В меньшей степени, катализатор деактивируется изменениями в кристаллах меди, вызванных тепловым воздействием. Спекание приводит к образованию крупных кристаллитов меди. Даже при отсутствии ядов катализаторы синтеза метанола претерпевают сравнительно быструю дезактивацию. Более одной трети активности теряется в течение первых 1000 часов работы [3, 4]. На практике, общий срок службы промышленного катализатора должен быть не менее 4 лет, но иногда может быть заявлено и до 8 лет [4].

#### 1.4 Синтез метанола

Для начала исходный синтез-газ после очистки компримируют до нужного давления многоступенчатыми поршневыми компрессорами или центробежными компрессорами [5]. В синтезе низкого давления для компримирования синтез-газа и возврата циркуляционного газа обычно применяют центробежные нагнетатели с паротурбинным приводом.

Компания «Imperial Chemical Industries» (ICI) впервые осуществила процесс синтеза метанола при низком давлении (НД) в 1966 г. Этот процесс произвел революцию в промышленном процессе производства метанола [6].

Основные реакции синтеза являются сильно экзотермическими и теплота реакции должна мгновенно удаляться из слоя катализатора. Поскольку реакция приближается к равновесной, общая скорость реакции становится нулевой (из — за нежелательных побочных продуктов, образуется менее чистый метанол). Следовательно, горячий равновесный реакционный газ должен быть охлажден и частично переработан для того, чтобы восстановить приемлемую конверсию. Это может быть достигнуто

путем различных конструкций реакторов синтеза метанола и линий рецикла.

Промышленные конструкции реакторов работают в соответствии со следующими принципами:

- Закалочные реакторы (как правило, адиабатические системы с многослойным охлаждением)
- Адиабатические реакторы, соединенные последовательно (как правило, с косвенным охлаждением)
- Реакторы с кипящей водой (бойлерного типа)
- Реакторы с газовым охлаждением

#### 1.4.1 Обычные промышленные процессы синтеза метанола

К этим процессам относятся те, которые имеют производительность до 3000 тонн метанола в сутки. Данные процессы рассмотрены на примерах нескольких компаний.

#### 1.4.1.1 Компания «Lurgi»

В 1970-е годы, «Lurgi» разработала квазиизотермический процесс. Эта обычная конструкция включает в себя те же основные шаги, что и компания ICI [7]. Однако, эти процессы отличаются главным образом конструкцией реактора и способом съема тепла. Ключевым компонентом процесса «Lurgi» является трубчатый реактор, сравнимый с теплообменником, трубы заполнены катализатором, а межтрубное пространство – паром. Экзотермический характер реакции используется, для выработки пара высокого давления для привода рециркуляционного компрессора, или на экспорт пара высокого давления.

Вследствие изотермической работы, в среднем слое катализатора температура реакции ниже, чем в адиабатическом преобразователе. Благодаря чему при изотермическом режиме уменьшается количество побочных продуктов и увеличивается срок службы катализатора. На рис. П.А.1 показана схема этого процесса.

Синтез-газ превращается в метанол по каталитически индуцированной реакции с водяным охлаждением.

Давление синтез-газа на выходе из печи приблизительно 3,5 МПа. Пар высокого давления, и пар среднего давления, образующиеся в технологическом процессе, используются в качестве привода для паровых турбин. Газ риформинга ИЗ конечного сепаратора, сжимается компрессором синтез-газа до требуемого давления контура синтеза метанола. Компримированный синтез-газ и рециркуляционный газ из компрессора идут на экстракцию/конденсацию, с использованием перегретого пара движения турбины. высокого давления для Рециркуляционный газ перед входом в реактор синтез-газ предварительно нагревается в промежуточном теплообменнике до 220 °C.

Помимо метанола и воды, пара, образующийся на выходе из реактора газ содержит непрореагировавшие  $H_2$ , CO и  $CO_2$ ; инертные газы, такие как  $CH_4$  и  $N_2$ ; и некоторые побочные продукты реакции (миллионные доли). Для того чтобы отделить  $CH_3OH$  и  $H_2O$  от газов, смесь на выходе из реактора охлаждают примерно до  $40\,^{\circ}C$ . Газ сначала охлаждается в воздушном холодильнике, затем в водяном холодильнике. Помимо метанола и воды, конденсированный метанол — сырец содержит растворенные газы и примеси.

Разделение метанола — сырца от непрореагировавших газов происходит в сепараторе. Метанол — сырец из сепаратора подвергается дистилляции, где чистый метанол отделяется от воды и других примесей. Большая часть газа возвращается обратно в реактор синтеза через компрессорный блок рециркуляционного газа с целью достижения высокой конверсии. Небольшое количество изымается в виде

продувочного газа, чтобы избежать ненужного накопления инертных веществ в контуре.

Большая часть продувочного газа направляется в процесс генерирования синтез-газа. Небольшое количество продувочного газа используется на стадии гидрирования природного газа для обессеривания. Во время запуска и остановки, очищенный газ направляется на факел. Сырой метанол направляется на перегонку для получения чистого метанола.

#### 1.4.1.2 OAO «Тольяттиазот»

Агрегат производства метанола был разработан по проекту фирмы «Метанол Казале». Для проекта данного агрегата характерны два основных момента:

- новая горизонтальная колонна синтеза, которая не требует больших затрат (включая монтаж), с оптимальным распределением температуры и выработкой пара [11];
- низкие капитальные затраты, благодаря компактной планировке агрегата.

Агрегат подразделен на четыре основные технологические стадии [12]:

- 1. Блок подготовки, который включает гидросероочистку (удаление серы из природного газа) и отделение риформинга (получение синтез-газа)
- 2. Блок компрессии, где происходит сжатие синтез-газа, смешивание с рециркуляционным газом и направление его в контур синтеза.
- 3. Блок синтеза, где в горизонтальной колонне синтеза происходит образования метанола и пара, который подается во второй кипятильник ректификационной колонны.
- 4. Блок дистилляции, где полученный в блоке синтеза метанол-сырец подвергается двухстадийной ректификации. В первой колонне

удаляются легкие фракции, а во второй удаляются более тяжелые фракции и вода.

Горизонтальный реактор, разработанный фирмой «Метанол Казале» представляет собой конструкцию с промежуточным охлаждением. Важными характерными особенностями данного реактора являются [12]:

- простота механической конструкции: катализаторные корзины уже сами по себе являются пустыми контейнерами;
- наличие съемных теплообменников, что способствует более легкому ремонту и обслуживанию;
- благодаря поперечному расположению катализатора вместо аксиального наблюдаются низкие перепады давления;
- максимальное использование внутреннего объема колонны синтеза;
- катализатор может заполнить более чем 80 % объема сосуда, обеспечивая компактность и низкую стоимость установки;
- возможность получать пар с давлением до 2 МПа;
- упрощена система трубопроводов пар/котловая питательная вода, поскольку паросборники можно размещать очень близко от колонны;
- колонна и связанное с ней оборудование (котлы и паросборники) расположены на нулевой отметке и др.

В колонне синтеза установлены четыре катализаторные корзины, промежуточные теплообменники и котлы [12].

Каждая катализаторная корзина состоит из:

- решетки, которая покрыта проволочной сеткой с целью удерживания катализатора; она фиксируется стенками аппарата и центральной опорой.
- двух стенок, обеспечивающих боковое удержание катализатора на концах полки;
- защитного экрана в виде секторов, размещенного сверху катализатора;

• вертикального цилиндрического контейнера, включающего теплообменник, вставленный непосредственно в стенку, которая разделяет две последовательные полки.

Горизонтальное расположение, разработанное фирмой «Метанол Казале», основано на принципе модульной конструкции, где можно просто изменять количества полок и средства, используемые для охлаждения газа между ними. Например, нетрудно спроектировать колонну с двумя, тремя или четырьмя катализаторными полками, где промежуточное охлаждение может производиться котлами утилизаторами, подогревом природного газа или другими способами. Гибкость проекта и простота конструкции обеспечивают экономичность установки [12].

#### 1.4.2 Крупномасштабное производство

#### 1.4.2.1 Система реакторов «Lurgi»

В крупномасштабных производствах (производительность выше 3000 тонн метанола в сутки), реакция разбивается на два этапа конверсии (рис. П.Б.1). Как в обычном промышленном синтезе, газ сжимается до выбранного давления (5-10 МПа) с помощью компрессора, подогревается до необходимой температуры и отправляется на вход первого реактора. Он представляет собой квазиизотермический реактор кипящего типа (реактор с водяным охлаждением) с катализатором в трубах [13].

Реакционный газ, поступающий в преобразователь, обладает очень высокой реакционной способностью, поэтому следует избегать перегрева катализатора.

На втором этапе, преобразованный реакционный газ подается в реактор с газовым охлаждением. Конвертированный газ направляется в межтрубную зону аппарата, которая заполнена катализатором [13]. Тепло реакции используется для предварительного нагрева газа на входе первого преобразователя метанола. На выходе из реактора газ охлаждается, сырой

метанол отделяется и направляется на очистку в секцию ректификации. Непрореагировавший газ сжимается и возвращается. Часть непрореагировавшего газа продувается из узла, чтобы избежать накопления инертных газов в системе.

Как видно из рис. П.Б.1, газовая смесь направляется из первого реактора без какого-либо охлаждения в поток второго реактора. Холодный подаваемый газ для реактора, направляется через трубки в противоток с реагирующим газом. Таким образом, температура реакции непрерывно уменьшается по пути реакции в реакторе с газовым охлаждением (рис. П.Б.1), и термодинамическое равновесие поддерживается на всем слое катализатора.

Поскольку свежий синтез-газ подается только в первый реактор, каталитические яды не могут попасть во второй реактор. В сочетании с низкими рабочими температурами, это приводит к очень длительным срокам службы катализатора. Кроме того, если выход метанола в водоохлаждаемом реакторе снижается за счет снижения активности катализатора, температура на входе в реактор с газовым охлаждением будет расти, в результате будет происходить улучшение кинетики реакции и, следовательно, повышенный выход метанола во втором реакторе.

Таким образом, газ подогревается в газоохлаждаемом реакторе, проходит в реактор с водяным охлаждением, где и происходит реакция. Затем нагретый технологический газ возвращается в газоохлаждаемый реактор, где при менее интенсивных условиях реакция заканчивается. Основные преимущества комбинированной системы реактора:

- Высокая эффективность преобразования синтез газа
- Высокая энергоэффективность
- Низкие капитальные затраты.

#### 1.4.2.2 Реакторная система «МНІ»

Реактор представляет собой простой двойной трубчатый теплообменник (рис. П.Б.2). Катализатор размещен кольцевом пространстве между внутренней и наружной трубами. Исходный газ внутренней трубе, посредством гибких поступает ПО трубок, подключенных к низу аппарата, и далее проходя через внутренние трубки, нагревается. Затем газовая смесь вводится сверху вниз слой катализатора, находящийся в кольцевом пространстве. Катализаторный слой охлаждается снаружи двойной трубы котловой водой и газом, подаваемым из внутренних трубок. Метанол и непрореагировавший газ выходится через нижнее выпускное отверстие.

Температурный режим отличается от режима в квазиизотермическом реакторе. Температура слоя катализатора выше вблизи входа в реактор, но постепенно снижается к выходу, посредством теплообмена с подаваемым газом. Это означает, что газ идет по линии максимальной скорости реакции (когда концентрация метанола находится в зависимости от температуры), по крайней мере, на протяжении некоторого времени, давая высокую степень конверсии за один проход. Компания утверждает, что к другим основным достоинствам сукперконвертера необходимо добавить безопасную работу и высокий уровень механической стабильности.

#### 1.4.2.3 Конструкция реактора компании «Метанол Казале»

«Метанол Казале» (Швейцария) улучшила так называемый ромбовидный или реактор синтеза «ІСІ-типа», состоящий из одного слоя катализатора, в котором расположены «ромбовидные» распределители для охлаждения газов [12]. Однослойный вариант был заменен несколькими наложенными друг на друга слоями катализатора, расположенных на некотором расстоянии друг от друга. Теплообменными поверхностями являются пластины, а не трубки, и катализатор находится за пределами

охлаждающих пластин. Также возможно сочетание различных охлаждающих жидкостей. Конвертер обеспечивает очень эффективное смешивание [12], что позволяет достичь разброса температуры на входе следующего слоя всего несколько градусов. Это устраняет горячие точки внутри слоя и обеспечивает возможность его работы при очень низких температурах на входе.

Согласно «Казале», новая конструкция имеет следующие основные характеристики:

- В разных участках каталитического слоя можно независимо регулировать отвод тепла. Таким образом, реактор может работать при температурном режиме в соответствии с самой высокой скоростью реакции.
- Не требуется трубных решеток. Тепло может быть удалено непосредственно из слоя катализатора.
- Охлаждающая жидкость, протекающая внутри пластин, может быть свежим конвертированным газом, водой или другим жидким теплоносителем.

#### 1.5 Выделение метанола – ректификата

Сырой метиловый спирт, получаемый в процессе синтеза метанола, содержит воду, растворенные газы, и некоторое количество нежелательных, но неизбежных побочных продуктов, которые имеют или более низкие или более высокие точки кипения, чем у метанола. Целью ректификации, является удаление этих примесей, для достижения желаемой чистоты метанола в соответствии с ГОСТ [18].

Это достигается в трех следующих этапов процесса. Во-первых, растворенные в сыром метаноле газы (например, СО, СО<sub>2</sub>, H<sub>2</sub>, СН<sub>4</sub>) приводятся в движение, простым его испарением в расширительном газовом сосуде при низком давлении. Затем, происходит удаление легких

фракций (например, простые эфиры, формиаты, альдегиды, кетоны) и остальных растворенных газов в ректификационной колонне. Затем, удаление тяжелых фракций (этанол, высшие спирты и вода).

«Lurgi» предлагает две основные концепции ректификации [20]: малозатратная двухколонная ректификация и энергосберегающая перегонка, включающая три колонны. Чистота метанола остается неизменной, в то время как чистый выход и потребление пара зависит от концепции перегонки.

#### 1.5.1 Малозатратная дистилляция

Двухколонная ректификация предназначена для снижения инвестиционных затрат, имея более высокую потребность в энергии. Принципиальная технологическая схема двухколонной дистилляции показана на рис. П.В.1.

Сырой метанол подается в колонну предварительного испарения, где удаляются низкие побочные продукты кипения. Легкие фракции собираются сверху с большим объемом паров метанола. Пары из верхней части колонны передаются в колонну предварительной конденсации, где пары метанола конденсируются, и далее направляется в сборник сырца.

Несконденсировавшиеся легкие фракции выводятся с верхней части сосуда в охладитель для отходящих газов, который служит для конденсации остаточных паров метанола из вентиляционных газов. Сконденсированный метанол собирается в сборник, в то время как легкие фракции отводятся.

Легкокипящие фракции вместе с расширительным газом, насыщенные водой и метанолом, отводятся и могут быть использованы в качестве топливного газа. Метанольный конденсат удаляется из сосуда и направляется через флегмовый насос обратно в верхнюю тарелку колонны предварительного испарения.

Конечный продукт, стабилизированный метанол, подается в колонну отгонки тяжелых фракций. Цель этой колонны — удалить из метанола воду и другие тяжелые компоненты. В верхней части колонны собирается чистый метанол, в то время как вода, содержащая следы этанола и высших спиртов, выгружается из нижней части колонны при помощи насоса и охладителя. Пары метанола перемещаются в воздухоохладитель, который дополнительно охлаждается охлаждающей водой, а затем собираются в емкости. Часть метанола перекачивается обратно в виде флегмы в верхнюю часть колонны, в то время как остальная часть направляется на склад чистого метанола.

#### 1.5.2 Энергосберегающая дистилляция

Принцип дистилляции остается неизменным, но колонна отгонки тяжелых фракций разделена на две отдельные колонны, одна работает при повышенном давлении, а другая при атмосферном давлении. Типичная схема процесса ректификации показана на рис. П.В.2. Чистый метанол собирается наверху в обеих колоннах, каждая из которых отгоняет около 40-60 % продукта. Кипятильник колонны атмосферного давления использует тепло от воздушных паров колонны повышенного давления, которые конденсируются одновременно. Это значительно снижает спрос на энергию для нагревания колонны отгонки тяжелых фракций примерно на 35 %.

#### 2 ТЕХНОЛОГИЧЕСКАЯ ЧАСТЬ

#### 2.1 Характеристика сырья и готового продукта

Сырьём для производства метанола являются — CO,  $CO_2$ ,  $H_2$ . Основные показатели сырья [5, 21].

Таблица 2.1.

#### Основные показатели сырья

Наименование показателя	СО	CO <sub>2</sub>	$H_2$
Молярная масса, г/моль	28,01	44,01	1,008
Плотность при 0 °C, кг/см <sup>3</sup>	1,250	1,9768	0,090
Температура плавления, °С	-205	-78	- 259,1
Температура кипения, °С	-191,5	-57	-252,8
Энтальпия образования, кДж/моль	-393,51	-241,81	0

Краткая характеристика сырья:

- 1. Окись углерода (оксид углерода(II), угарный газ) бесцветный газ без вкуса и запаха. Очень ядовит, при попадании в организм растворяется в гемоглобине крови, вызывая кислородное голодание. При содержании 0,08 % СО во вдыхаемом воздухе человек чувствует головную боль и удушье. При повышении концентрации до 0,32 % возникает паралич и потеря сознания (смерть наступает через 30 минут). При концентрации выше 1,2 % сознание теряется после двух—трёх вдохов, человек умирает менее чем через 3 минуты [25].
- 2. Двуокись углерода (оксид углерода (IV), углекислый газ)— бесцветный газ (в нормальных условиях), кисловатого вкуса, без запаха. Оказывает раздражающее воздействие на кожу и слизистые оболочки, вызывает головную боль, повышенную сонливость и общую слабость. В больших концентрациях вызывает удушье [25].

3. Водород – бесцветный газ без вкуса и запаха. Лишь в очень высоких концентрациях вызывает удушение, вследствие уменьшения нормального давления кислорода. В жидком состоянии водород, при попадании на кожу может вызывать обморожение [25]. Водород при смеси с воздухом образует взрывоопасную смесь — так называемый гремучий газ. Наибольшую взрывоопасность имеет при объёмном отношении водорода воздуха приближённо 2:5.

К метанолу-ректификату предъявляются высокие регламентируемые требования [8]. По физико-химическим показателям технический метанол должен соответствовать нормам, указанным в таблице [8].

Таблица 2.2. Физико-химические показатели технического метанола

№	Наименование показателя	Норма для марки
пп.		
1	2	3
1	Внешний вид	Бесцветная прозрачная жидкость без нерастворимых примесей
2	Плотность, $\rho$ , $\Gamma/cm^3$	0,791 – 0,792
3	Температурные пределы Предел кипения, °С 99% продукта перегоняется в пределах, °С	64 – 65,5 0,8
4	Массовая доля воды, %	0,05

## Продолжение таблицы 2.2.

1	2	3
5	Массовая доля свободных кислот в перерасчете на муравьиную кислоту, %	0,0015
6	Массовая доля альдегидов и кетонов в перерасчете на ацетон, %	
7	Массовая доля летучих соединений железа в перерасчете на железо, %	0,00001
8	Испытания с перманганатом калия, мин	60
9	Массовая доля аммиака и аминосоединений в перерасчете на аммиак, %	0,00001
10	Массовая доля хлора, %	0,0001
11	Массовая доля серы, %	0,0001
12	Массовая доля нелетучего остатка после испарения, %	0,001
13	Смешиваемость с водой	Смешивается с водой без следов помутнения и опалесценции
14	Массовая доля этилового спирта, %	0,1

Метанол по степени воздействия на организм человека относится к умеренно опасным веществам (3-й класс опасности).

Может накапливаться в организме. При попадании на кожу метанол обезжиривает ее, могут появиться трещины и раздражения. Симптомы отравления — головная боль, головокружение, тошнота, рвота, боль в желудке, общая слабость, раздражение слизистых оболочек, мелькание в глазах, а в тяжелых случаях - потеря зрения и смерть. При приеме внутрь уже 30 мл метанола может наступить смерть. Хотя часть принятого метанола и выводится при выдыхании, но остающееся количество медленно окисляется в формальдегид, который затем быстро окисляется в муравьиную кислоту, которая накапливается в организме, приводя к нарушению кислотно — щелочного равновесия. Характерным для отравления метанола является поражения зрительного нерва [26].

2.2 Разработка и описание аппаратурно-технологической схемы производства

#### 2.2.1 Синтез метанола

Синтез - газ с температурой 20 — 64 °C и давлением не более 2,0 МПа, поступает на всас двухступенчатого компрессора 1.Состав исходной смеси, поступающей, в колонну синтеза следующий:  $\mathrm{CH_4}$  - 12,12 %;  $\mathrm{H_2}$  - 80,37 %;  $\mathrm{N_2}$  - 0,72 %;  $\mathrm{CO}$  - 3,53 %;  $\mathrm{CO_2}$  - 2,85 %;  $\mathrm{H_2O}$  - 0,02 %;  $\mathrm{CH_3OH}$  - 0,39 %

Температура нагнетания 1-ой ступени компрессора синтез-газа не более 162 °C. Откуда синтез-газ поступает в воздушный холодильник 3, температура на выходе снижается до 40 °C. Синтез-газ из воздушного холодильника 3 поступает в сепаратор 4, который оснащен змеевиком обогрева куба паром низкого давления. Далее отделившийся газовый

конденсат поступает в отпарную колонну 5, откуда жидкая фаза отправляется на водоподготовку, а газ отправляется на отдувку. Газовая смесь из сепаратора 4 возвращается на вторую ступень компрессора и смешивается с газовой смесью, поступающей со второй ступени компрессора 1 и с циркуляционным газом.

Синтез-газ с температурой 40 °C поступает на всас второй ступени компрессора 1. Сжатый газ на нагнетании 2-ой ступени компрессора 1 с 180 °C) смешивается с температурой не более 150  $^{\rm o}$ C (макс. циркуляционным газом, и нагревается в теплообменнике 2. На входе в газовый теплообменник 2 установлены: автоматический газоанализатор, который определяет состав газа; расходомер; регулирующий клапан дистанционного управления. На выходе из межтрубного пространства теплообменника 2 синтез-газ нагревается встречным потоком выхода синтез-газа из колонны 6 до температуры 210 °C. Выбран горизонтальный цилиндрический стальной аппарат с четырьмя полками, которые 5х5мм. таблетированным катализатором заполнены размерами Температурный режим реактора поддерживается котлами-утилизаторами, расположенными между слоями катализатора.

Техническая характеристика реактора [27,29]: диаметр внутренний —  $4400\,$  мм; длина общая —  $17500\,$  мм; объем катализатора —  $140\,$  м $^3$ ; производительность 1м $^3$  катализатора СНМ-3 по метанолу-ректификату составляет  $15\,$ т/сут.

На выходе из теплообменника 2 установлены: датчик температуры; байпасный клапан — служит для пуска колонны синтеза и регулировки температуры на входе в колонну синтеза 6; регулирующий клапан — дистанционного управления; датчик температуры. Далее газовая смесь поступает в газовый встроенный теплообменник синтеза 9.

Техническая характеристика кожухотрубчатого теплообменника (2): длина трубок – 12000 мм (2\*6000 мм); диаметр трубок - 16x1,4 мм;

количество трубок — 3300 штук; перегородки — сегментные, число сегментов - 5; расстояние между перегородками — 1300 мм; ширина сегментной перегородки — 985 мм, диаметр аппарата — 2200 мм; поверхность теплообмена — 1990 м $^2$  (рис. П.Г.3).

Синтез-газ после подогрева в газовом теплообменнике 9 до температуры начала реакции (210 °C) поступает в верхнюю часть первой полки колонны синтеза (6), проходит слой катализатора сверху вниз, охлаждается до температуры 210 °C после котла-утилизатора 7, отдавая тепло трубному пространству котла-утилизатора 7.

После котла-утилизатора 7 синтез-газ поступает в верхнюю часть второй полки колонны синтеза, проходит слой катализатора сверху вниз, охлаждается до температуры 210 °C после котла-утилизатора 8, отдавая тепло трубному пространству котла-утилизатора 8. После котла-утилизатора 8 синтез-газ поступает в верхнюю часть третьей полки колонны синтеза, проходит слой катализатора сверху вниз, охлаждается до температуры 210 °C после газового теплообменника 9.

На входе в четвертую полку колонны синтеза, газ проходит слой катализатора сверху вниз и выходит из колонны синтеза с температурой не более 250 °С и поступает в теплообменник 2. Реакция синтеза метанола — сильно экзотермическая, поэтому необходимо точное регулирование, чтобы предотвратить повышение температуры реакции. Для этого на входе в колонну синтеза 6 установлен датчик давления синтез-газа. При завышении давления более 10,3 МПа срабатывает сигнализация в ЦПУ по датчику. Синтез-газ проходит по кольцевому зазору первой полки колонны синтеза попадает в катализаторную коробку, где происходит синтез метанола. Катализатор синтеза должен обладать не только хорошей активностью, но и высокой селективностью, стойкостью к старению и колебаниям температуры, механической прочностью. Срок пробега катализатора не менее 4 года. Размер таблетки 5х5мм.

Температура колонны синтеза замеряется датчиками, которые замеряют температуру входа в колонну синтеза, температуру верха каждой полки колонны, температуру 1/3 и 2/3 верха каждой полки, при завышении температуры срабатывает блокировка. Регулирование температуры реактора осуществляется котлами-утилизаторами 6,7, снабженными датчиками подачи деминерализованной воды и клапаном выхода пара из паросборника.

На выходе из колонны 6 установлен газоанализатор, который замеряет состав газа. Синтез-газ из колонны с температурой не выше 258 °C поступает, в трубное пространство теплообменника 2 отдавая тепло встречному потоку поступающего газа в межтрубное пространство. На выходе из теплообменника синтез-газ с давлением 9 МПа и температурой не более 133 °C поступает в воздушный холодильник 10, температура на выходе составляет 70 °C.

Дальнейшее охлаждение паров метанола происходит в водяном холодильнике 11 до температуры примерно 50 °C. Пары метанола из аппарата 11 с давлением 9,6 МПа поступают в сепаратор продувок 12, где жидкий метанол-сырец отделяется от неконденсируемых газов. Неконденсируемые циркуляционные газы возвращаются на нагнетание второй циркуляционной ступени компрессора 1 с температурой 30 – 50 °C и давлением 9,66 – 9,9 МПа. Данная ступень является отдельной ступенью во втором корпусе 1 (с общим приводом от паровой турбины компрессора). Часть циркуляционного газа после сепаратора продувок 12 сбрасывается в виде продувочного потока с температурой 30 – 50 °C и давлением 0,7 - 4,0 МПа на стадию гидросероочистки и конверсии метана.

#### 2.2.2 Ректификация метанола

Ректификация метанола-сырца осуществляется в два этапа. На первом этапе происходит удаление легких фракций. На втором - удаление

тяжелых фракций и воды для получения метанола-ректификата требуемого качества.

Метанол-сырец с температурой 40 – 60 °C перекачивается из сборника 13 насосом N1 на питание колонны отгонки легких фракций 15.

Для нейтрализации кислот, омыления аминов и карбонилов, которые увеличивают коррозионный износ оборудования, трубопроводов и аппаратов отделения ректификации, в питание колонны 15 плунжерным насосом дозируется раствор NaOH. Узел приготовления и дозирования щелочи состоит из емкости, используемой в качестве накопителя и бака для раствора щелочи со встроенной мешалкой с электроприводом (не указан на технологической схеме). В линии питания колонны легких фракций поддерживается рН=8-9.

Предусмотрен контроль за рН - потока питания колонны 15. Щелочная среда в потоке поддерживается вручную путем изменения подачи количества щелочи от насосов дозаторов (путем изменения хода плунжера). Расход щелочи составляет 100 г на 1 тонну метанола-сырца. Метанол-сырец со щелочью, проходя пластинчатый теплообменник 14 нагревается до температуры 65 °C и с давлением 0,65 МПа подается на 7ю, 11-ю или 17-ю тарелки колонны ректификации 15. Выбор тарелки питания в колонне зависит от состава входного потока метанола-сырца. Колонна легких фракций состоит из 48 ситчатых тарелок. В ней происходит обезэфиривание диметилового эфира. Флегмовое число поддерживается на уровне 4-20 (обычно 6-8). Количество раствора, подаваемого в колонну 15, регулируется автоматически с помощью клапана. Пары легкой фракции, содержащие метанол и легколетучие компоненты поднимаются вверх колонны и поступают в воздушный холодильник 17, откуда жидкая фаза сливается в сборник флегмы 18 с температурой около 70 °C.

Несконденсированные пары из сборника 18 поступают в межтрубную часть водяного теплообменника 19, где происходит их конденсация и охлаждение до 35 °C. Вторичный метанол конденсируется в холодильнике 19, а легкая фракция передается в систему факела.

В трубную часть теплообменника 19 в качестве хладоагента подается оборотная охлаждающая вода. Сконденсировавшаяся смесь метанола и легких фракций поступает в сепаратор 20, сбрасывается с температурой 30 – 50 °C и давлением 0,025 –0,05 МПа в коллектор легких фракций на стадию конверсии метана, а жидкая фаза сливается в сборник флегмы 18. Такая схема обвязки конденсаторов необходима для исключения потерь метанола с отдувкой и для исключения переохлаждения флегмы, особенно в зимний период, что может приводить к выпуску некондиционной продукции.

Флегма с температурой 50-80 °C из сборника 18 насосами N2 подается на первую тарелку колонны ректификации 15 для поддержания температурного режима верха колонны. Расход флегмы регулируется клапаном автоматически. Для определения и контроля качественного состава флегмы в сборнике 18 предусмотрена пробоотборная точка. Тепловой режим колонны 15 обеспечивается за счет рекуперации тепла синтез-газа стадии конверсии метана в кипятильнике 16. В межтрубную часть кипятильника 16 подается синтез-газ с температурой 132 °C после газового кипятильника 22. Пар, отдавая тепло в кипятильнике 16, поступает в сепаратор (не указан на технологической схеме), где происходит отделение из газа сконденсировавшейся влаги, а далее с температурой 111 °C поступает на всас компрессора синтез-газа 1.

Для контроля режима в колонне 15 установлены датчики температуры на 7-й, 18-й, 28-й тарелках соответственно, а также датчик перепада давления между верхом и низом колонны. Предусмотрена сигнализация по низкому и высокому уровню в колонне.

Основные параметры колонны: давление верха колонны - 0,025-0,2 МПа; температура верха - 74-85 °C; температура куба - 40-120 °C; давление куба колонны - не более 0,7 МПа; температура флегмы - 50-80 °C.

Основной поток метанола с кубовой части колонны 15 насосами N3 подается в колонну 21 для отгонки тяжелых фракций и получения метанола-ректификата. С температурой 84-85 °C и давлением 0,56 МПа подается на 53-ю, 57-ю, 61-ю тарелки по выбору колонны ректификации тяжелых фракций 21. Выбор тарелки подачи питания осуществляется в зависимости от состава входного потока. Расход водно-метанольного 21 раствора колонну регулируется автоматически клапаном, установленным на линии подачи в колонну с коррекцией по уровню в кубовой части колонны. Для контроля количественного состава смеси на тарелках колонны 15 предусмотрен ручной отбор анализов с 3-й, 7-й, 13-й, 19-й, 29-й, 39-й тарелок.

Метанол-сырец имеющий в своем составе тяжелую фракцию изопропиловый спирт (сивушные масла), попадая на тарелки, встречается с восходящим потоком парогазовой смеси. Происходит тепло - и массообмен. Легкая фракция с температурой 79,9 °C с верхней части колонны поступает в воздушный конденсатор 24, где конденсируется, и сливается в сборник флегмы 25. Давление верха колонны поддерживается автоматически с помощью датчика.

Чистый продукт – метанол удаляется как жидкость с третьей тарелки из верхней части колонны 21, охлаждается до температуры 40 °C и поступает на склад метанола. Из сборника 25 метанол насосами N5 в качестве флегмы подается на 1-ю тарелку колонны 21 для поддержания температурного режима и улучшения тепло - и массообмена. Расход флегмы регулируется автоматически. Для создания азотной подушки в емкости 25 и исключения процесса окисления метанола, в емкости

предусмотрена подача азота через клапан (не указано на технологической схеме).

Установлена система управления на ограничение концентрации нижней колонны 21. В части При слишком концентрации метанола нижней части колонны увеличивается В температура. Тяжелая фракция (вода и сивушные масла) отводится с 71-й, 72-й, 74-й, 78-й, 80-й, 82-й тарелок колонны 21 избирательно в зависимости от состава смеси в колонне и поступает в сборник зеленого масла (не указан на технологической схеме). Предусмотрен сброс зеленого масла через водяной холодильник в химически загрязненную канализацию.

Для контроля состава смеси на тарелках предусмотрен ручной отбор проб для анализа с 6-й,22-й,38-й,57-й,59-й,61-й тарелок колонны 21.

Температура входного и выходного потока пара со стадии конверсии метана через кипятильник 22 регулируется автоматически клапанами установленными на входе и на байпасе.

Оставшаяся водная смесь из кубовой части колонны 21 поступает в трубную часть паровых кипятильников 22, 23, где в межтрубную часть подается пар низкого давления с температурой 152 °C. Расход пара регулируется автоматически клапаном с коррекцией по температуре на тарелках 60-88 колонны 21. В кипятильниках 22 и 23 из азеотропной смеси водного остатка выпаривается метанол и с частью воды поступает на 88-ю последнюю тарелку колонны 21.

Водный остаток с кубовой части колонны 20 с температурой 124 °C насосом N6 подается теплообменник 14, в качестве теплоносителя. Метанол-ректификат с концентрацией 99,99% отбирается с 3-й и 5-й тарелки колонны 21 и поступает в межтрубную часть водяного холодильника 26, где охлаждаясь до температуры 40 °C, отправляется на склад метанола. В трубную часть холодильника 26 подается охлаждающая вода.

Расход метанола-ректификата регулируется автоматически клапаном с управлением по расходу и коррекцией по температурам на 88-й и на 82-й, 80-й, 78-й, 74-й, 72-й, 60-й тарелках колонны 21. Для контроля за температурным режимом в верхней части колонны 21 установлены датчики температуры 56-й, 38-й, 22-й, 6-й, 2-й тарелках, а также датчик перепада давления между верхом и низом колонны.

Для контроля количественного состава смеси на тарелках колонны 21 предусмотрен ручной отбор анализов с 1-й, 6-й, 22-й, 38-й, 53-й, 57-й, 59-й, 61-й тарелок. Основные параметры колонны 21: температура куба колонны - 40 - 100 °C; давление куба – 0.05 - 0.2 МПа; температура питания -  $25 \div 60$  °C; температура верха -  $40 \div 100$  °C; давление верха – 0.05 - 0.2 МПа; температура флегмы - 40 - 100 °C.

#### 3 РАСЧЕТНАЯ ЧАСТЬ

# 3.1 Материальный расчет стадии синтеза метанола

#### Исходные данные:

производительность агрегата по метанолу-ректификату 500 000т/год; массовая доля метанола в метаноле-ректификате 99,95%; состав газовой смеси на входе в реактор синтеза (C, %) [1]:  $\mathrm{CH_4}$  - 12,12;  $\mathrm{H_2}$  - 80,37;  $\mathrm{N_2}$  - 0,72;  $\mathrm{CO}$  - 3,53;  $\mathrm{CO_2}$  - 2,85;  $\mathrm{H_2O}$  - 0,02;  $\mathrm{CH_3OH}$  - 0,39

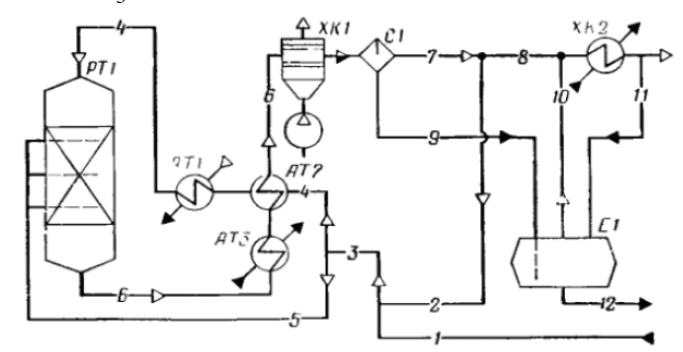


Рис 3. Схема потоков стадии синтеза метанола:

1 - синтез-газ; 2 - циркуляционный газ; 3,6,7 - газовая смесь; 4 - основной поток; 5 - охлаждающая смесь; 8 - продувочные газы; 9,12 - метанол-сырец; 11 - возвратный метанол.

РТ1 - реактор; АТ1-АТ3 - теплообменник; ХК1, ХК2 - холодильник-конденсатор; С1 - сепаратор; Е1 - сборник метанола-сырца.

Температура, °C: синтеза - 250; конденсации - 40; давление конденсации 9,6 МПа;

количество образующихся побочных продуктов, кг на 1т метанола-ректификата: диметилового эфира - 8; спиртов  $C_3$  - 6; спиртов  $C_4$  - 21.

Последовательность расчета:

- 1. Расчет объемного расхода и состава газовой смеси на входе в реактор синтеза
- 2. Определение изменения состава газовой смеси в процессе синтеза
- 3. Вычисление количества сконденсировавшегося метанола и растворенных в нем газов, количество и состав газовой смеси после сепарации
- 4. Определение состава газовой смеси после циркуляционного компрессора в составе свежего газа, сравнивая его с составом газа после трубчатой печи
- 5. Определение состава продукционного метанола-сырца.

Объемная доля метанола в циркуляционном газе определяются условиями конденсации и рассчитываются по формуле [4]:

$$T := 273 + 40 = 313$$
  $p_0 := 9.6$ 

$$\left| \log \! \left( \texttt{C}_{\texttt{CH3OH}} \right) \right| \, := \, 6.542 - \frac{1874.1}{T} - \log \! \left( p_0 \right) = -427.811 \times 10^{-3}$$

где  $p_0$  - общее давление в системе, МПа; T - температура, K;  $C_{\rm CH3OH}$  - концентрация паров метанола в газе

$$C_{\text{CH3OH}} := 10^{\left| \log \left( C_{\text{CH3OH}} \right) \right|} = \bullet \cdot 0.48$$
 %

Объемный расход циркуляционного газа  $V_{\text{цг}}$  находят из условия сохранения количества метанола при смешенийй свежего  $V_{\text{св}}$  и циркуляционных газов [27]

$$V_{\text{ttr}} \cdot 0.0048 + 30 := \left(V_{\text{ttr}} + 251470\right) \cdot 0.0039$$
$$V_{\text{ttr}} := \frac{(251470 \cdot 0.0039) - 30}{0.0048 - 0.0039} = 1.056 \times 10^6$$

где 0,0048 и 0,0039 - объемные доли метанола в циркуляционном газе и газе, подаваемом в реактор сингеза; 251470 и 30 - объемные расходы свежего газа и метанола в нем, м³/ч [27]

Объемный расход газовой смеси на входе в реактор  $\sqrt{V_{cb}} := 251470$ 

$$V_{B} := V_{CB} + V_{IIF} = 1.308 \times 10^{6}$$

Таблица 3.1 Состав газовой смеси на входе в реактор (поток 3)

Компонент	CH4	СНЗОН	H2	N2	CO	CO2	H2O	Сумма
С, % (об.)	12,12	0,39	80,37	0,72	3,53	2,85	0,02	100,00
V , м3/ч	158510,21	5100,58	1051111,01	9416,45	46166,75	37273,44	261,57	1307840,00

Переводим производительность, П в кг/ч

$$1_T = 1000 \text{ kr} = a$$
  $a := 1000$ 

$$1$$
 год =  $(365дн - 30дн на капремонт) * 24 часа = b$ 

$$\Pi := \frac{(500000 \cdot a)}{b} = 6.219 \times 10^4$$

 $b := (365 - 30) \cdot 24 = 8.04 \times 10^3$ 

В реакторе необходимо получить 100%  $\Pi_{100} \coloneqq \Pi \cdot 0.9995 = 6.216 \times 10^4$  метанол:

с учетом 0.8% потерь с продувочными и танковыми газами:

$$\begin{split} \Pi_{\Pi} &:= \Pi_{100} \cdot 1.008 = 6.266 \times 10^4 \quad \text{кг/ч} \\ V_{\text{m}} &:= 22.4 \quad \text{M}_{\text{CH3OH}} := 32 \\ V_{\text{CH3OH}} &:= \frac{V_{\text{m}} \cdot \Pi_{\Pi}}{M_{\text{CH3OH}}} = 4.386 \times 10^4 \quad \text{м}^3/\text{ч} \\ \Pi_{\text{0}} &= 22.4 \quad \text{реакции} \qquad \text{CQ} + 3\text{H}_2 \, \text{LCH}_3 \, \text{OH} + \text{H}_2 \, \text{OH} \, \text{CH}_3 \, \text{$$

расходуется, м³/ч:

$$V_{1CO2} := V_{CH3OH} = 4.386 \times 10^4$$
  $V_{1H2O} := V_{1CO2} = 4.386 \times 10^4$ 

$$V_{1H2} := 3 \cdot V_{1CO2} = 1.316 \times 10^5$$

$$\Pi_{\text{эфира}} := \Pi \cdot 8 \cdot 10^{-3} = 497.512$$
 кг/ч или

$$M_{
m 9 \phi upa} := 42$$
 кг/кмоль

$$V_{9 \phi \mu p a} := \frac{V_m \cdot \Pi_{9 \phi \mu p a}}{M_{9 \phi \mu p a}} = 265.34 \text{ м}^3/\text{ч} \qquad V_{2H2O} := V_{9 \phi \mu p a} = 265.34 \text{ м}^3/\text{ч}$$

расходуется, м<sup>3</sup>/ч:

$$V_{2\text{CO}} := V_{9\phi\mu\text{pa}} \cdot 2 = 530.68$$
  $V_{2\text{H2}} := V_{9\phi\mu\text{pa}} \cdot 4 = 1.061 \times 10^3$  По реакции  $4\text{CO} + 6\text{H}$   $C_3\text{H}_7\text{OH} + 2\text{H}_2\text{O}$  (3.3) образуется:  $\Pi_{\text{C3}} := 0.006 \cdot \Pi = 373.134$  кг/ч или  $M_{\text{C3}} := 60$ 

$$V_{C3} := \frac{V_m \cdot \Pi_{C3}}{M_{C3}} = 139.303 \ \text{m}^{3/\text{q}} \qquad V_{3H2O} := V_{C3} \cdot 2 = 278.607 \ \text{m}^{3/\text{q}}$$

расходуется м<sup>3</sup>/ч:

$$V_{3CO}:=V_{C3}\cdot 3=417.91$$
  $V_{3H2}:=V_{C3}\cdot 6=835.821$  По реакции  $4CO+8H_2=C_4H_9OH+3H_2O$  (3.4)

образуется: 
$$\Pi_{C4}:=0.021\cdot\Pi=1.306\times10^3$$
 кг/ч или  $M_{C4}:=74$   $V_{C4}:=\frac{V_m\cdot\Pi_{C4}}{M_{C4}}=395.321$  м<sup>3</sup>/ч

расходуется м<sup>3</sup>/ч:

$$V_{4H2} := V_{C4} \cdot 8 = 3.163 \times 10^3$$

$$V_{4CO} := V_{C4} \cdot 4 = 1.581 \times 10^3$$

образуется, м<sup>3</sup>/ч: 
$$V_{4H2O} := V_{C4} \cdot 3 = 1.186 \times 10^3$$

Количество оксида углерода в газе после прохождения реакций 3.1 - 3.4,

$$^{M^3/ ext{Ч}}$$
:  $V_{CO} := 46166.75 - \left| V_{2CO} + V_{3CO} + V_{4CO} \right| = 4.364 \times 10^4$  По реакции  $CO + 3H_{J} = CH_4 + H_2O$  (3.5)

реагирует 0,6% оксида углерода [27], что составляет, м/ч:

$$V_{5CO} := V_{CO} \cdot 0.6 \cdot 10^{-2} = 261.821$$

расходуется, м
$$^3$$
/ч:  $V_{5H2} := V_{5CO} \cdot 3 = 785.464$ 

образуется, м<sup>3</sup>/ч: 
$$V_{5CH4} := V_{5CO} = 261.821$$
  $V_{5H2O} := V_{5CO} = 261.821$ 

Количество оксида углерода после прохождения реакций 3.1 - 3.5, %/ч:

$$V_{1 \text{ 5CO}} := V_{\text{CO}} - V_{\text{5CO}} = 4.338 \times 10^4$$
  
По реакции  $CO + H_2O = CO_2 + H_2$  (3.6)

реагирует 75% оксида углерода [27], что составляет,  $\mathring{M}$ /ч:

$$V_{6CO} := V_{1.5CO} \cdot 0.75 = 3.253 \times 10^4$$

расходуется водяного пара, м³/ч:  $V_{6H2O} := V_{6CO} = 3.253 \times 10^4$  образуется, м³/ч:

$$V_{6H2} := V_{6CO} = 3.253 \times 10^4$$
  $V_{6CO2} := V_{6CO} = 3.253 \times 10^4$ 

Расчет состава газовой смеси на выходе из реактора синтеза (поток 6):

$$\begin{array}{l} V_{1\ 6CH4} := 158510.21 + V_{5CH4} = 1.588 \times 10^{5} & V_{3\phi\mu\rho a} = 265.34 \\ V_{1\ 6CH3OH} := 5100.58 + V_{CH3OH} = 4.896 \times 10^{4} & V_{C3} = 139.303 \\ V_{1\ 6CH3OH} := 1051111.01 - V_{1H2} - V_{2H2} ... & = 9.479 \times 10^{5} & V_{1\_6N2} := 9416.45 \\ & + V_{3H2} - V_{4H2} - V_{5H2} + V_{6H2} \\ V_{1\ 6CO} := 46166.75 - V_{2CO} - V_{3CO} - V_{4CO} - V_{5CO} - V_{6CO} = 1.084 \times 10^{4} \\ V_{1\ 6CO2} := 37173.44 - V_{1CO2} - V_{2H2} + V_{6CO2} = 2.478 \times 10^{4} \\ V_{1\ 6CO2} := 37173.44 - V_{1CO2} - V_{2H2} + V_{6CO2} = 2.478 \times 10^{4} \\ V_{1\_6H2O} := 261.57 + V_{1H2O} + V_{2H2O} + V_{3H2O} ... = 1.358 \times 10^{4} \\ & + V_{4H2O} + V_{5H2O} - V_{6H2O} \\ V_{1\_6CH4} + V_{1\_6CH3OH} + V_{3\phi\mu\rho a} + V_{C3} + V_{C4} = 2.085 \times 10^{5} \\ V_{1\_612} + V_{1\_6N2} + V_{1\_6CO2} + V_{1\_6H2O} + 2.901 \times 10^{5} = 1.299 \times 10^{6} \\ C, \% (ob.) \\ C_{1\_6CH4} := \frac{V_{1\_6CH4} \cdot 100}{V_{1\_6}} = 12.225 \\ C_{1\_6CH3OH} := \frac{V_{1\_6CH3OH} \cdot 100}{V_{1\_6}} = 3.77 \\ C_{1\_6C3} := \frac{V_{3\phi\mu\rho a} \cdot 100}{V_{1\_6}} = 0.02 \\ C_{1\_6C3} := \frac{V_{03} \cdot 100}{V_{1\_6}} = 0.011 \\ C_{1\_6C3} := \frac{V_{03} \cdot 100}{V_{1\_6}} = 0.03 \\ C_{1\_6H2O} := \frac{V_{1\_6CO2} \cdot 100}{V_{1\_6}} = 1.046 \\ C_{1\_6H2O} := \frac{V_{1\_6H2O} \cdot 100}{V_{1\_6}} = 1.046 \\ C_{1\_6C4} := \frac{V_{1\_6} \cdot 100}{V_{1\_6}} = 0.03 \\ C_{1\_6C4} := \frac{V_{1\_6} \cdot 100$$

Определение количества метанола, конденсирующегося в сепараторе, и количества растворенных в метаноле газов, ведется методом последовательных приближений [27].

На первом этапе расчета принимается, что газы в метаноле-сырце не растворяются, а органические примеси и вода полностью переходят в метанол-сырец. Количество несконденсировавшихся газов равно, м³/ч:

 $V_{\rm H\Gamma} := V_{1.6} - V_{1.6 \rm CH3OH} - V_{\rm эфира} - V_{\rm C3} - V_{\rm C4} - V_{1.6 \rm H2O} = 1.235 \times 10^6$  Так как объемная доля метанола в газовой фазе равно 0,48 % [27] и воды - 0,025%, то количество газообразного метанола составит м³/ч:

$$V_{\Gamma M} := \frac{V_{H\Gamma} \cdot 0.48}{100 - (0.48 + 0.025)} = 5.96 \times 10^3$$

водяного пара: 
$$V_{B\Pi}:=rac{V_{H\Gamma}\cdot 0.025}{100-0.505}=310.424$$

Конденсируется м<sup>3</sup>/ч и кг/ч: метанола:  $V_{\rm M} := V_{\rm 1\_6CH3OH} - V_{\rm \Gamma M} = 4.3 \times 10^4$  воды:

$$V_B := V_{1\_6H2O} - V_{B\Pi} = 1.327 \times 10^4$$
  $\Pi_M := \frac{32 \cdot V_M}{22.4} = 6.143 \times 10^4$ 

Общее количество несконденсировавшихся газов, м³/ч:

$$V_{Oбщ} := V_{1\_6CH3OH} + V_{\Gamma M} + V_{B\Pi} = 5.523 \times 10^4$$

Определение парциальных давлений (в  $\Pi a$ ) растворяющихся в жидком метаноле газов:  $p_{\Delta} := 10^5$ 

$$\begin{split} p_{CH4} &:= p_0 \cdot C_{1~6CH4} \cdot 10^3 = 1.174 \times 10^5 \quad p_{N2} := p_0 \cdot C_{1~6N2} \cdot 10^3 = 6.96 \times 10^3 \\ p_{CO} &:= p_0 \cdot C_{1~6CO} \cdot 10^3 = 8.015 \times 10^3 \quad p_{H2} := p_0 \cdot C_{1\_6H2} \cdot 10^3 = 7.006 \times 10^5 \\ p_{CO2} &:= p_0 \cdot C_{1~6CO2} \cdot 10^3 = 1.832 \times 10^4 \end{split}$$

Растворимость компонентов газа в метаноле при давлении  $10^5$  Па и температуре 30 - 40 °C составляет ( $\gamma$ , м<sup>3</sup>/т) [27]

$$\gamma_{CH4} := 0.375 \quad \gamma_{H2} := 0.096 \quad \gamma_{N2} := 0.233 \quad \gamma_{CO} := 0.259 \qquad \gamma_{CO2} := 2.8$$

Количество растворенных компонентов газа в метаноле-сырце (м³/ч):

$$\begin{split} V_{pCH4} &:= \left[ \begin{matrix} \gamma_{CH4} \cdot \left( \frac{p_{CH4}}{p_A} \right) \right] \cdot \Pi_M \cdot 10^{-3} = 27.034 \\ V_{pCO} &:= \left[ \begin{matrix} \gamma_{CO} \cdot \left( \frac{p_{CO}}{p_A} \right) \right] \cdot \Pi_M \cdot 10^{-3} = 1.275 \\ V_{pCO2} &:= \left[ \begin{matrix} \gamma_{CO2} \cdot \left( \frac{p_{CO2}}{p_A} \right) \right] \cdot \Pi_M \cdot 10^{-3} = 31.51 \\ V_{pH2} &:= \left[ \begin{matrix} \gamma_{H2} \cdot \left( \frac{p_{H2}}{p_A} \right) \right] \cdot \Pi_M \cdot 10^{-3} = 41.317 \\ V_{pN2} &:= \left[ \begin{matrix} \gamma_{N2} \cdot \left( \frac{p_{N2}}{p_A} \right) \right] \cdot \Pi_M \cdot 10^{-3} = 0.996 \\ V_{p\Sigma} &:= V_{pCH4} + V_{pH2} + V_{pN2} + V_{pCO} + V_{pCO2} = 102.132 \\ \end{split}$$

Остается в газообразном состоянии  $(м^3/ч)$ :

$$\begin{split} V_{\Gamma CH4} &:= V_{1\_6CH4} - V_{pCH4} = 1.587 \times 10^5 \\ V_{\Gamma CO} &:= V_{1\_6CO} - V_{pCO} = 1.084 \times 10^4 \\ V_{\Gamma CO2} &:= V_{1\_6CO2} - V_{pCO2} = 2.475 \times 10^4 \\ V_{\Gamma H2} &:= V_{1\_6H2} - V_{pH2} = 9.479 \times 10^5 \end{split}$$

$$V_{\Gamma\Sigma} := V_{\Gamma CH4} + V_{\Gamma H2} + V_{\Gamma N2} + V_{\Gamma CO} + V_{\Gamma CO2} = 1.152 \times 10^6$$
 $V_{\Sigma} := V_{p\Sigma} + V_{\Gamma\Sigma} = 1.152 \times 10^6$ 

Кроме того, в составе газа содержится ( $\frac{3}{4}$ /ч):

$$V_{cCH3OH} := \frac{V_{\Gamma\Sigma} \cdot 0.48}{100 - 0.505} = 5.556 \times 10^{3} \qquad V_{cH2O} := \frac{V_{\Gamma\Sigma} \cdot 0.025}{100 - 0.505} = 289.363$$

Конденсируется,  $M^3/V_{\text{и кг/V}}$ :  $V_{\text{кCH3OH}} := V_{1\_6\text{CH3OH}} - V_{\text{cCH3OH}} = 4.34 \times 10^4$ 

$$\Pi_{\text{кCH3OH}} := \frac{32 \cdot \text{V}_{\text{кCH3OH}}}{22.4} = 6.2 \times 10^4$$

$$V_{\kappa H2O} := V_{1\_6H2O} - V_{cH2O} = 1.329 \times 10^4 \ \Pi_{\kappa H2O} := \frac{18 \cdot V_{\kappa H2O}}{22.4} = 1.068 \times 10^4$$

Общее количество несконденсировавшихся газов (м³/ч):

$$V_{\text{общ}} := V_{\Gamma\Sigma} + V_{\text{cCH3OH}} + V_{\text{cH2O}} = 1.157 \times 10^6$$

 $V_{M}^{3}/q$ 

Состав метанола-сырца

$$V_{1 \text{ 9CH4}} := V_{pCH4} = 27.034$$

$$V_{1\_9CH3OH} := V_{\kappa CH3OH} = 4.34 \times 10^4$$

$$V_{\text{эфира}} = 265.34$$

$$V_{C3} = 139.303$$

$$V_{C4} = 395.321$$

$$V_{1_9H2} := V_{pH2} = 41.317$$

$$V_{1 9N2} := V_{pN2} = 0.996$$

$$V_{1 \text{ 9CO}} := V_{pCO} = 1.275$$

$$V_{1 \text{ 9CO2}} := V_{pCO2} = 31.51$$

$$V_{1 \text{ 9H2O}} := V_{\kappa \text{H2O}} = 1.329 \times 10^4$$

$$V_{1\_9} := V_{1\_9H2} + V_{1\_9N2} + V_{1\_9CO} + V_{1\_9CO2} + V_{1\_9H2O} \dots = 5.76 \times 10^4 + V_{1\_9CH4} + V_{1\_9CH3OH} + V_{2\phi\mu\nu\rho} + V_{C3} + V_{C4}$$

$$\Pi$$
, кг/ч

$$\Pi_{1\_9\text{CH4}} := \frac{16 \cdot \text{V}_{1\_9\text{CH4}}}{22.4} = 19.31$$

$$\Pi_{1 \text{ 9CH3OH}} := \Pi_{\text{kCH3OH}} = 6.2 \times 10^4$$

$$\Pi_{1\_9 \ni \phi upa} := \frac{46 \cdot V_{\ni \phi upa}}{22.4} = 544.895$$

$$\Pi_{1\_9C3} := \frac{60 \cdot V_{C3}}{22.4} = 373.134$$

$$\Pi_{1\_9C4} := \frac{74 \cdot V_{C4}}{22.4} = 1.306 \times 10^3$$

$$\Pi_{1\_9\text{H2}} := \frac{2 \cdot \text{V}_{1\_9\text{H2}}}{22.4} = 3.689$$

$$\Pi_{1\_9N2} := \frac{28 \cdot V_{1\_9N2}}{22.4} = 1.245$$

$$\Pi_{1\_9\text{CO}} := \frac{28 \cdot \text{V}_{1\_9\text{CO}}}{22.4} = 1.594$$

$$\Pi_{1\_9\text{CO2}} := \frac{44 \cdot \text{V}_{1\_9\text{CO2}}}{22.4} = 61.894$$

$$\Pi_{1\_9\text{H2O}} := \Pi_{\kappa\text{H2O}} = 1.068 \times 10^4$$

$$\Pi_{1\_9} := \Pi_{1\_9H2} + \Pi_{1\_9N2} + \Pi_{1\_9CO} + \Pi_{1\_9CO2} + \Pi_{1\_9H2O} \dots = 7.5 \times 10^4 + \Pi_{1\_9CH4} + \Pi_{1\_9CH3OH} + \Pi_{1\_99\phi\mu\rho a} + \Pi_{1\_9C3} + \Pi_{1\_9C4}$$

Таблица 3.2.

Состав газовой смеси после сепаратора (поток 7)

Компонент	CH4	СНЗОН	H2	N2	CO	CO2	H2O	Сумма
С, % (об.)	13,73	0,48	81,87	0,81	0,94	2,14	0,025	100,00
V , м3/ч	158745,00	5548,00	946180,00	9415,00	10842,50	24753,00	288,90	1155772,40

Расход циркуляционного газа составляет (рассчитано ранее),  $(M^3/4)$ :

$$V_{II\Gamma} = 1.056 \times 10^6$$

Расход продувочных газов ( $\mathring{M}/_{\rm q}$ ):  $V_{\rm пp} := V_{\rm общ} - V_{\rm цг} = 1.011 \times 10^5$ 

Таблица 3.3.

Состав продувочных газов по компонентам (поток 8):

Компонент	CH4	СНЗОН	H2	N2	CO	CO2	H2O	Сумма
С, % (об.)	13,73	0,48	81,81	0,81	0,94	2,14	0,03	100,00
V, м3/ч	13878,70	485,20	82696,00	818,77	950,18	2163,18	30,32	101083,00

Состав циркуляционного газа (поток 2) определяется по разности составов потоков 7 и 8:

Таблица 3.4.

Состав циркуляционного газа (поток 2)

Компонент	CH4	СНЗОН	H2	N2	CO	CO2	H2O	Сумма
С, % (об.)	13,73	0,48	81,87	0,81	0,94	2,14	0,02	100,00
V , м3/ч	145097,11	5070,87	864859,22	8609,84	9908,12	22625,80	259,08	1056430,04

Расход и состав свежего газа, который должен компенсировать затраты на реакцию синтеза метанола и побочные реакции [27], потери при продувке и растворении в жидком метаноле (поток 1):

$$V_{1,M^{3}/q}$$
  $V_{1_{-1}CH4} := V_{pCH4} + 13647.89 - V_{5CH4} = 1.341 \times 10^{4}$   $V_{1_{-1}CH3OH} := 30$   $V_{1_{-1}H2} := V_{1H2} + V_{2H2} + V_{3H2} + V_{4H2} + V_{5H2} - V_{6H2} \dots = 1.862 \times 10^{5}$   $+ V_{pH2} + 81310.78$   $V_{1_{-1}N2} := V_{pN2} + 805.16 = 806.156$   $V_{1_{-1}CO} := V_{2CO} + V_{3CO} + V_{4CO} + V_{5CO} + V_{6CO} \dots = 3.626 \times 10^{4}$ 

$$V_{1\_1CO} := V_{2CO} + V_{3CO} + V_{4CO} + V_{5CO} + V_{6CO} \dots = 3.626 \times 10^{-4} + V_{pCO} + 934.38$$

$$V_{1\_1CO2} := V_{1CO2} - V_{6CO2} + V_{pCO2} + 2127.2 = 1.349 \times 10^4$$

$$\begin{split} V_{1\_1H2O} &:= -V_{1H2O} - V_{2H2O} - V_{3H2O} - V_{4H2O} - V_{5H2O} \ ... = 2.027 \\ &+ V_{6H2O} + V_{\kappa H2O} + 29.82 \end{split}$$

$$V_{1_{-1}} := V_{1_{-1}CH4} + V_{1_{-1}CH3OH} + V_{1_{-1}H2} \dots = 2.502 \times 10^5 + V_{1_{-1}N2} + V_{1_{-1}CO} + V_{1_{-1}CO2} + V_{1_{-1}H2O}$$

Состав продукцинного метанола-сырца. Потери метанола с продувочными и танковыми газами составляют [27]:

Потери := 
$$\Pi_{\Pi} - \Pi_{100} = 497.264$$
 кг/ч

с танковыми газами: 
$$\Pi_{\Pi\Pi\Pi} := \Pi$$
отери  $-\Pi_{\Pi\Pi\Pi} = 19.864$  кг/ч или

$$V_{\text{finit}} := \frac{\Pi_{\text{finit}} \cdot V_m}{32} = 334.18 \text{ m}^3/\text{y} \qquad \qquad V_{\text{finit}} := \frac{\Pi_{\text{fitt}} \cdot V_m}{32} = 13.905 \text{ m}^3/\text{y}$$

Остается в сборнике жидкого метанола:

$$\Pi_{\text{ост}} := \Pi_{\text{кCH3OH}} - \Pi_{\text{птr}} = 6.199 \times 10^4$$
 кг/ч

Кроме метанола в танковые газы переходит [27]:

75% растворенного диоксида углерода, что составляет

$$V_{TCO2} := 0.75 \cdot V_{pCO2} = 23.632 \frac{M^{3/q}}{M^{3/q}}$$
  $\Pi_{TCO2} := \frac{V_{TCO2} \cdot 44}{V_{m}} = 46.42 \text{ kg/q}$ 

100% растворенных в метаноле-сырце газов (метан, водород, оксид углерода, азот) и 50% диметилового эфира

$$V_{\text{Тэфира}} \coloneqq V_{\text{эфира}} \cdot 0.5 = 132.67 \text{ }_{\text{M}}^{3/\text{ч}} \text{ }\Pi_{\text{Тэфира}} \coloneqq \frac{V_{\text{Тэфира}} \cdot 46}{V_{\text{m}}} = 272.447 \text{ }$$
 кг/ч

Объемная доля водяных паров в танковых газах равно 0,03% (см. состав потока 8).

Количество сухого газа, м/ч:

$$V_{cyx} := V_{mnr} + V_{TCO2} + V_{pCH4} + V_{pH2} + V_{pCO} + V_{pN2} + V_{T \ni \phi \mu p a} = 240.829$$

Общее количество танковых газов с учетом водяного пара:

$$V_{\text{Тобщ}} := \frac{V_{\text{сух}} \cdot 100}{100 - 0.03} = 240.902 \quad \text{м}^3/\text{ч}$$

Количество водяного пара:  $V_{TH2O} := V_{Toбщ} - V_{cyx} = 0.072 \, \text{ м}^3/\text{ч}$ 

$$\Pi_{TH2O} := \frac{V_{TH2O} \cdot 18}{V_m} = 0.058 \text{ kg/q} \qquad \qquad \Pi_{1\_9H2O} + \Pi_{TH2O} = 1.068 \times 10^4$$

Таблица 3.5.

#### Состав танковых газов (поток 10)

Компонент	CH4	СН3ОН	H2	N2	СО	CO2	H2O	(CH3)2O	Сумма
С, % (об.)	11,22	5,77	17,15	0,41	0,53	9,81	0,02	55,08	100
V , м3/ч	27,03	13,91	41,32	1,00	1,28	23,63	0,06	132,67	240,9

Танковые и продувочные газы смешиваются, охлаждаются захоложенной водой, сконденсировавшийся метанол возвращается в сборник. Степень конденсации метанола из смеси газов равна 75%, следовательно, возвращается в сборник (поток 11):

$$\Pi_{\text{возвр}} := \Pi \text{отери} \cdot 0.75 = 372.948$$
 кг/ч

Всего поступает в сборник жидкого метанола:

$$\Pi_{\text{общ}} := \Pi_{\text{ост}} + \Pi_{\text{возвр}} = 6.236 \times 10^4$$

$$\Pi_{1\_9\text{CO2}} - \Pi_{\text{T.CO2}} = \bullet \cdot 15.53$$

Таблица 3.6.

Состав продукционного метанола-сырца (поток 12)

Компонент	СН3ОН	(CH3)2O	Спирты С3	Спирты С4	CO2	H2O	Сумма
П, кг/ч	62369,60	272,45	373,13	1306,00	15,53	10681,00	75017,71
W, % (Macc.)	83,14	0,36	0,50	1,74	0,021	14,24	100,00

Полученные данные сводятся в таблицу материального баланса.

Расчет основных расходных коэффициентов.

Таблица 3.7. Материальный баланс

Приход	кг/ч	$M^3/H$	Расход	кг/ч	м <sup>3</sup> /ч
Свежий газ:			Продукционны	й метанол-сы	ырец:
СН4	9580,71	13413,00	СНЗОН	62369,60	43658,72
СНЗОН	42,86	30,00	(CH3)2O	272,45	132,70
H2	16628,75	186242,00	СЗН7ОН	373,13	139,30
N2	1007,70	806,16	С4Н9ОН	1306,00	395,33
СО	45323,75	36259,00	CO2	15,53	7,90
CO2	26490,36	13486,00	H2O	10681,00	13291,91
H2O	1,97	2,45			
Итого	99076,09	250238,61	Итого	75017,71	57625,87
Циркуляцион	нный газ:		Циркуляционня	ый газ:	
СН4	103640,79	145097,11	CH4	103640,79	145097,11
СНЗОН	7244,10	5070,87	СНЗОН	7244,10	5070,87
H2	77219,57	864859,22	H2	77219,57	864859,22
N2	10762,30	8609,84	N2	10762,30	8609,84
СО	12385,15	9908,12	СО	12385,15	9908,12
CO2	44443,54	22625,80	CO2	44443,54	22625,80
H2O	208,19	259,08	H2O	208,19	259,08
Итого	255903,64	1056430,04	Итого	255903,64	1056430,04
			Продувочные и	танковые га	зы:
			CH4	9767,87	13675,02
			СНЗОН	327,30	229,11
			(CH3)2O	272,45	132,67
			H2	7264,48	81362,16
			N2	1007,70	806,16
			CO	1169,58	935,66
			CO2	4225,01	2150,91
			H2O	24,02	29,89
			Итого	24058,40	99321,58
Всего	354979,74	1306668,65		354979,74	1213377,49

Для получения 62,189 т/ч метанола-ректификата затрачивается 892  $\text{м}^3/\text{т}$  природного газа и 70328  $\text{м}^3/\text{ч}$  топливного газа [27]. Объемная доля природного газа в составе топливного равна 20%, следовательно, расход природного газа на сжигание составляет,  $\text{м}^3/\text{т}$ :

$$R_{\text{fif}} := \frac{70328 \cdot 0.2}{62.189} = 226.175$$

Общий расход природного газа на 1 т метанола-ректификата (расходный коэффициент), м $^3$ :  $R_{\text{обш}}:=892+R_{\text{пг}}=1.118\times 10^3$ 

что соответствует показателям эксплуатации промышленных агрегатов синтеза метанола [4 с.115]

# 3.2 Технологический расчет реактора синтеза метанола

Назначение, устройство и основные размеры. Определение числа реакторов.

Диаметр реактора, м: D := 4.4 Объем катализатора, м<sup>3</sup>:  $V_{\text{катализатора}} := 140$  Производительность реактора составляет 75018 кг/ч (см. Табл. Материальный баланс), суточная производительность равна, т/сут:

$$\Pi_{\text{cvt}} := 75.018 \cdot 24 = 1.8 \times 10^3$$

Необходимый объем катализатора для обеспечения заданной производительности, м<sup>3</sup>:

$$V_{\kappa} := \frac{\Pi_{\text{сут}}}{15} = 120.029$$
 где 15 - производительность катализатора по метанолу - сырцу, т/сут [29]

Необходимое число реакторов: 
$$n := \frac{V_{\kappa}}{V_{\kappa \text{атализатора}}} = 0.857$$

Следовательно, необходим один реактор. Запас производительности по катализатору, %:  $V_{\text{катализатора}} - V_{\kappa}$ 

$$\Pi_{\text{запас}} := \frac{V_{\text{катализатора}} - V_{\kappa}}{V_{\kappa}} \cdot 100 = 16.639$$

# 3.3 Тепловой расчет

Цель расчета - определение расхода холодной смеси (поток 5), которую необходимо ввести в реактор на второй, третий и четвертый слои для обеспечения теплового режима аппарата.

Уравнение теплового баланса реактора в общем виде:  $\Phi_1 + \Phi_2 = \Phi_3 + \Phi_{\text{пот,}}$  где  $\Phi_1$  и  $\Phi_3$  - тепловые потоки газовой смеси на входе в реактор и выходе из него соответственно, кВт;  $\Phi_2$  - теплота экзотермических реакций, кВт;  $\Phi_{\text{пот}}$  - теплопотери в окружающую среду, кВт.

Для подробного теплового расчета реактора, определяется доля смеси, подаваемой в газовую смесь каждого из четырех слоев катализатора.

Температура на входе в каждый слой принимается  $210^{\circ}$ С. В первом слое катализатора образуется 70 % метанола, 100 % диметилового эфира и спиртов  $C_3$ , 50 % спиртов  $C_4$ ; на втором - 15 % метанола, 50 % спиртов  $C_4$ , 100 % метана, в третьем и четвертом слоях 10 % и 5 % метанола соответственно [27].

M. Ners, access a commoderant annual resource (ACI or reference design.		
1		

1) 
$$CO + H_2O \mathbb{I} CO_2 + H_2$$
  
2)  $CO_2 + 3H_2 \mathbb{I} CH_3OH_{(r)} + H_2O_{(r)}$   
3)  $2CO + 4H_2 \mathbb{I} CH_3OH_{(r)} + H_2O_{(r)}$   
4)  $3CO + 6H_2 \mathbb{I} C_3H_7OH_{(r)} + 2H_2O_{(r)}$   
5)  $4CO + 8H_2 \mathbb{I} C_4H_9OH_{(r)} + 3H_2O_{(r)}$ 

3) 
$$2CO + 4H_2 \mathbb{I} (CH_3)_2O + H_2O_{(r)}$$
 6)  $CO + 3H_2 \mathbb{I} CH_4 + H_2O_{(r)}$ 

$$\Delta H^{o}_{298} = \Sigma \Delta H^{o}_{298(\text{KOH})} - \Sigma \Delta H^{o}_{298(\text{HCX})}$$

$$\Delta H_1 := -393.51 - (-110.53) - (-241.81) = -41.17$$

$$\Delta H_2 := [-241.81 + (-201) - (-393.51)] = -49.3$$

$$\Delta H_3 := -241.81 + (-184.05) - 2 \cdot (-110.53) = -204.8$$

$$\Delta H_4 := 2(-241.81) + (-257.53) - 3 \cdot (-110.53) = -409.56$$

$$\Delta H_5 := [3(-241.81) + (-274.43) - 4 \cdot (-110.53)] = -557.74$$

$$\Delta H_6 := [-74.85 + (-241.81) - (-110.53)] = -206.13$$

Теплота экзотермических реакций  $\Phi_2$  рассчитывается по формуле [27]:

 $\Phi_2$  =  $1000 q_n n_{\tau}$  , кВт - где  $q_n$  - теплота химической реакции, кДж/моль;  $n_{\tau}$  -

количество вещества, вступившего в реакцию, кмоль/с

$$\Phi_{1.2} := \frac{1000 \left[ V_{6H2O} \cdot \Delta H_1 + 0.7 \cdot \left( V_{1CO2} \cdot \Delta H_2 \right) \dots \right]}{\frac{\left[ + V_{9 \phi npa} \cdot \Delta H_3 + V_{C3} \cdot \Delta H_4 + 0.5 \cdot \left( V_{C4} \cdot \Delta H_5 \right) \right]}{2\cdot 3600}} = 1.906 \times 10^4$$

Теплопотери в окружающую среду составляют 3% от общего прихода теплоты:

 $\Phi_{1\pi o au} := 0.03 \cdot (\Phi_{1.1} + \Phi_{1.2}) = \mathbf{I} \cdot 0.03 \cdot (5.656 \times 10^4 - 251.231 \cdot V_{1x} + \Phi_{1.2})$  Объемный расход холодного (котлового) газа находится из уравнения теплового баланса реактора:

$$5.656 \times 10^4 - 251.231 \cdot V_{1x} + \Phi_{1.2} = \mathbf{1} \cdot \Phi_{1.3} + 2.269 \times 10^3 - 7.537 \cdot V_{1x}$$

$$V_{1x} := \frac{5.656 \times {10}^4 - 2.269 \times {10}^3 + \Phi_{1.2} - \Phi_{1.3}}{251.231 - 7.537} = 145.391 \quad \text{m}^3/\text{c}$$

Статьи теплового баланса, кВт:

$$\Phi_{1.1} \coloneqq 5.656 \times 10^4 - 251.231 \cdot V_{1x} = 2.003 \times 10^4$$
 $\Phi_{1\pi \text{от}} \coloneqq 0.03 \cdot \left(5.656 \times 10^4 - 251.231 \cdot V_{1x} + \Phi_{1.2}\right) = 1.173 \times 10^3$ 
2 слой:  $V_{2\text{вх}} \coloneqq V_{\text{вых1}} = 164.769$ 
 $V_{\text{вых2}} \coloneqq \frac{1186272.102 + 6548.81 + 13675.02 + 34.37 + 197.665}{2 \cdot 3600} = 167.601$ 

Таблица 3.9. Значения молярных теплоемкостей (2 слой)

		с, Дж/моль*К	с*С/(22,4*100), кДж/ <sup>3</sup> *К	с, Дж/моль*К	с*С/(22,4*100), кДж/³*К		с, Дж/моль*К	с*С/(22,4*100), кДж/ <sup>3</sup> *К
Компонент	C, %	вход в 2 сл	ой, T = 483K	поток 5,		выход из	2 слоя, Т	= 483K
CH4	0,00	46,31	0,0000	36,30	0,0000	12,26	46,31	0,2535
СНЗОН	2,65	58,85	0,0695	45,59	0,0539	3,21	58,85	0,0844
(CH3)2O	0,02	88,84	0,0008	58,60	0,0005	0,02	88,84	0,0008
СЗН7ОН	0,01	134,05	0,0007	79,80	0,0004	0,01	134,05	0,0007
C4H9OH	0,02	172,98	0,0012	101,40	0,0007	0,03	172,98	0,0024
H2	73,07	29,06	0,9480	28,81	0,9398	73,07	29,06	0,9480
N2	0,73	29,94	0,0097	29,24	0,0095	0,73	29,94	0,0097
СО	0,84	30,19	0,0113	29,26	0,0109	0,84	30,19	0,0113
CO2	1,91	44,85	0,0383	38,56	0,0329	1,91	44,85	0,0383
H2O	1,05	35,31	0,0165	33,73	0,0158	1,05	35,31	0,0165
Сумма	100,00	-	1,0960	-	1,0644	100,00	-	1,3656

Определение тепловых потоков  $\Phi_1$  и  $\Phi_2$  кВт:

$$\begin{split} \Phi_{2.1} \coloneqq & \left( \mathrm{V}_{2\mathrm{BX}} - \mathrm{V}_{2\mathrm{X}} \right) \cdot 1.0960 \cdot 210 \ \ldots = \blacksquare \cdot 3.792 \times 10^4 - 182.262 \cdot \mathrm{V}_{2\mathrm{X}} \\ & + \mathrm{V}_{2\mathrm{X}} \cdot 1.0644 \cdot 45 \end{split}$$
 
$$\Phi_{2.3} \coloneqq & \mathrm{V}_{\mathrm{B}\mathrm{b}\mathrm{X}2} \cdot 1.0960 \cdot 210 = 3.858 \times 10^4 \\ & 1000 \lceil \mathrm{V}_{6\mathrm{H}2\mathrm{O}} \cdot \Delta \, \mathrm{H}_1 \, + 0.85 \cdot \left( \mathrm{V}_{1\mathrm{CO}2} \cdot \Delta \, \mathrm{H}_2 \, \right) \, \ldots \rceil \end{split}$$

1000 
$$V_{6H2O}$$
·  $\Delta H_1 + 0.85$ ·  $(V_{1CO2}$ ·  $\Delta H_2)$  ...  $+ V_{9\phi \mu pa}$ ·  $\Delta H_3 + V_{C3}$ ·  $\Delta H_4$  ...  $+ V_{C4}$ ·  $\Delta H_5 + V_{5CH4}$ ·  $\Delta H_6$ 

$$\Phi_{2.2} := \frac{\frac{2.3600}{22.4}}{22.4} = 2.209 \times 10^{4}$$

$$\Phi_{2\pi \text{or}} := 0.03 \cdot \left(\Phi_{2.1} + \Phi_{2.2}\right) = \mathbf{1} \cdot 0.03 \cdot \left(3.792 \times 10^{4} - 182.262 \cdot V_{2x} + \Phi_{2.2}\right)$$

Объемный расход холодной смеси:

$$5.656 \times 10^4 - 251.231 \cdot V_{1x} + \Phi_{2.2} = \mathbf{1} \cdot \Phi_{2.3} + 2.269 \times 10^3 - 7.537 \cdot V_{2x}$$

$$V_{2x} \coloneqq \frac{3.792 \times {10}^4 - 1.8 \times {10}^3 + \Phi_{2.2} - \Phi_{2.3}}{182.262 - 5.468} = 111.075 \quad \text{m}^3/\text{c}$$

Статьи теплового баланса, кВт:

$$\begin{split} &\Phi_{2.1} := 3.792 \times {10}^4 - 182.262 \cdot \mathrm{V_{2x}} = 1.768 \times {10}^4 \\ &\Phi_{2\pi \mathrm{or}} := 0.03 \cdot \left( 3.792 \times {10}^4 - 182.262 \cdot \mathrm{V_{2x}} + \Phi_{2.2} \right) = 1.193 \times {10}^3 \end{split}$$

3 слой: 
$$V_{3\text{BX}} := V_{\text{BMX}2} = 167.601$$
 
$$V_{\text{BMX}3} := \frac{1186272.102 + 6548.81 + 13675.02 \dots}{2 \cdot 3600} = 167.906$$

Таблица 3.10. Значения молярных теплоемкостей (3 слой)

		с, Дж/моль*К	c*C/(22,4*100), кДж <sup>3</sup> #К	с, Дж⁄моль*К	$c*C/(22,4*100), \kappa \coprod \kappa \widetilde{N}^{3}K$	C, %	с, Дж/моль*К	c*C/(22,4*100), v.L.w.n.K
Компонент	C, %	вход в 3 сл	ой, Т = 483К	поток 5,	T = 318K	выход из	3 слоя, Т	T = 483  K
CH4	12,26	46,31	0,2535	36,30	0,1987	12,26	46,31	0,2535
СНЗОН	3,21	58,85	0,0844	45,59	0,0654	3,59	58,85	0,0944
(CH3)2O	0,02	88,84	0,0008	58,60	0,0005	0,02	88,84	0,0008
С3Н7ОН	0,01	134,05	0,0007	79,80	0,0004	0,01	134,05	0,0007
С4Н9ОН	0,03	172,98	0,0024	101,40	0,0014	0,03	172,98	0,0024
H2	73,07	29,06	0,9480	28,81	0,9398	73,07	29,06	0,9480
N2	0,73	29,94	0,0097	29,24	0,0095	0,73	29,94	0,0097
CO	0,84	30,19	0,0113	29,26	0,0109	0,84	30,19	0,0113
CO2	1,91	44,85	0,0383	38,56	0,0329	1,91	44,85	0,0383
H2O	1,05	35,31	0,0165	33,73	0,0158	1,05	35,31	0,0165

Определение тепловых потоков  $\Phi_1$  и  $\Phi_2$  кВт:

$$\begin{split} \Phi_{3.1} &:= \left( \mathrm{V}_{3 \mathtt{BX}} - \mathrm{V}_{3 \mathtt{X}} \right) \cdot 1.3656 \cdot 210 \ \dots = \blacksquare \cdot 4.806 \times 10^4 - 229.383 \cdot \mathrm{V}_{3 \mathtt{X}} \\ &+ \mathrm{V}_{2 \mathtt{X}} \cdot 1.2754 \cdot 45 \\ \Phi_{3.3} &:= \mathrm{V}_{\mathtt{BMX3}} \cdot 1.3755 \cdot 210 = 4.85 \times 10^4 \\ \mathrm{V}_{6 \mathtt{H} 2 \mathtt{O}} \cdot \Delta \, \mathtt{H}_1 \ \ \, + 0.95 \cdot \left( \mathrm{V}_{1 \mathtt{CO} 2} \cdot \Delta \, \mathtt{H}_2 \ \, \right) = 3.393 \times 10^6 \\ &- 1000 \left( 3.393 \times 10^6 + \mathrm{V}_{9 \varphi \mathtt{Mpa}} \Delta \, \mathtt{H}_3 \ \, \ldots \right) \\ &- \left( + \mathrm{V}_{C3} \cdot \Delta \, \mathtt{H}_4 + \mathrm{V}_{C4} \cdot \Delta \, \mathtt{H}_5 + \mathrm{V}_{5 \mathtt{CH} 4} \cdot \Delta \, \mathtt{H}_6 \ \, \right) \\ \Phi_{3.2} &:= \frac{2.343 \times 10^4}{22.4} \\ \Phi_{3 \mathtt{mot}} &:= 0.03 \cdot \left( \Phi_{3.1} + \Phi_{3.2} \right) = \blacksquare \cdot 0.03 \cdot \left( 4.806 \times 10^4 - 229.383 \cdot \mathrm{V}_{3 \mathtt{X}} + \Phi_{3.2} \right) \\ \mathrm{V}_{3 \mathtt{X}} &:= \frac{4.806 \times 10^4 - 2.145 \times 10^3 + \Phi_{3.2} - \Phi_{3.3}}{229.383 - 6.881} = 93.684 \quad \mathtt{M}^3 / \mathtt{c} \end{split}$$

Статьи теплового баланса, кВт:

$$\Phi_{3.1} := 4.806 \times 10^4 - 229.383 \cdot V_{3x} = 2.657 \times 10^4$$

$$\Phi_{3\pi \text{от}} \coloneqq 0.03 \cdot \left(4.806 \times 10^4 - 229.383 \cdot \text{V}_{3\text{X}} + \Phi_{3.2}\right) = 1.5 \times 10^3$$
 4 слой:  $V_{4\text{BX}} \coloneqq V_{8\text{biX}3} = 167.906$   $V_{8\text{biX}4} \coloneqq \frac{1213377.49}{2 \cdot 3600} = 168.525$ 

Таблица 3.11.

Shadenia monaphia telinoemkoeten (5 chon)	Значения моля	ных теплоемкостей	(3	слой)
---	---------------	-------------------	----	-------

		с, Дж⁄моль*К	$c^*C/(22,4^*100), \kappa \Pi x^{3} K$	с, Дж⁄мољ*К	с*С/(22,4*100), кДж <sup>3</sup> *К	C, %	$c$ , Дж/молъ $^*$ К	c*C/(22,4*100), 以本地
Компонент	C, %	вход в 4 сле	ой, Т = 483К	поток 5,	T = 318K	выход из	4 слоя, Т	r = 523 K
CH4	12,26	46,31	0,2535	36,30	0,1987	12,26	48,60	0,2660
СН3ОН	3,59	58,85	0,0944	45,59	0,0731	3,78	61,81	0,1043
(CH3)2O	0,02	88,84	0,0008	58,60	0,0005	0,02	96,30	0,0009
СЗН 7ОН	0,01	134,05	0,0007	79,80	0,0004	0,01	131,30	0,0006
C4H9OH	0,03	172,98	0,0024	101,40	0,0014	0,03	166,69	0,0023
H2	73,07	29,06	0,9480	28,81	0,9398	73,07	29,16	0,9512
N2	0,73	29,94	0,0097	29,24	0,0095	0,73	30,11	0,0098
CO	0,84	30,19	0,0113	29,26	0,0109	0,84	30,38	0,0114
CO2	1,91	44,85	0,0383	38,56	0,0329	1,91	45,75	0,0391
H2O	1,05	35,31	0,0165	33,73	0,0158	1,05	35,72	0,0167
Сумма	100,00	-	1,3755	-	1,2831	100,00	-	1,4023

Определение тепловых потоков  $\Phi_1$  и  $\Phi_2$  кВт:

$$\begin{split} \Phi_{4.1} &\coloneqq \left( \mathrm{V_{4_{BX}}} - \mathrm{V_{4_X}} \right) \cdot 1.3755 \cdot 210 \ \ldots = \blacksquare \cdot 4.85 \times 10^4 - 231.115 \cdot \mathrm{V_{4_X}} \\ &+ \mathrm{V_{4_X}} \cdot 1.2831 \cdot 45 \end{split}$$

$$\Phi_{4.3} &\coloneqq \mathrm{V_{Bbix4}} \cdot 1.4023 \cdot 250 = 5.908 \times 10^4 \\ &= 1000 \left( \mathrm{V_{6H2O}} \cdot \Delta \, \mathrm{H_1} + \mathrm{V_{1CO2}} \cdot \Delta \, \mathrm{H_2} \, \ldots \right) \\ &+ \mathrm{V_{9 \varphi \mu pa}} \cdot \Delta \, \mathrm{H_3} + \mathrm{V_{C3}} \cdot \Delta \, \mathrm{H_4} \, \ldots \\ &+ \mathrm{V_{C4}} \cdot \Delta \, \mathrm{H_5} + \mathrm{V_{5CH4}} \cdot \Delta \, \mathrm{H_6} \, \right) \\ \Phi_{4.2} &\coloneqq \frac{2.3600}{22.4} = 2.41 \times 10^4 \\ \Phi_{4\pi o T} &\coloneqq 0.03 \cdot \left( \Phi_{4.1} + \Phi_{4.2} \right) = \blacksquare \cdot 0.03 \cdot \left( 4.85 \times 10^4 - 231.115 \cdot \mathrm{V_{4_X}} + \Phi_{4.2} \right) \\ \mathrm{V_{4_X}} &\coloneqq \frac{4.85 \times 10^4 - 2.178 \times 10^3 + \Phi_{4.2} - \Phi_{4.3}}{231.115 - 6.933} = 50.606 \ \mathrm{M}^3/\mathrm{c} \end{split}$$
 Статьи теплового баланса, кВт:

$$\begin{split} &\Phi_{4.1} := 4.85 \times 10^4 - 231.115 \cdot V_{4x} = 3.68 \times 10^4 \\ &\Phi_{4\pi\sigma\tau} := 0.03 \cdot \left(4.85 \times 10^4 - 231.115 \cdot V_{4x} + \Phi_{4.2}\right) = 1.827 \times 10^3 \end{split}$$

Данные сводятся в таблицу теплового баланса.

Таблица 3.12. Значения молярных теплоемкостей (3 слой)

Приход	кВт	Расход	кВт
1 слой			
Тепловой поток		Тепловой поток	
газовой смеси	20033	газовой смеси	37923
Теплота		Теплопотери в	
экзотермических			
реакций	19063	окружающую среду	1173
2 слой			
Тепловой поток		Тепловой поток	
газовой смеси	17675	газовой смеси	38575
Теплота		Теплопотери в	
экзотермических			
реакций	22092	окружаю щую среду	1193
3 слой			
Тепловой поток		Тепловой поток	
газовой смеси	26568	газовой смеси	48500
Теплота		Теплопотери в	
экзотермических			
реакций	23433	окружаю щую среду	1500
4 слой			
Тепловой поток		Тепловой поток	
газовой смеси	36804	газовой смеси	59081
Теплота		Теплопотери в	
экзотермических		_	
реакций	24103	окружающую среду	1827
Сумма	189771		189772

Расчет реактора

Объемный расход газовой смеси на выходе из реактора (см.состав поток 6) при температуре T=523К и давлении p=9МПа составит,  $m^3/c$ :

$$V_{\text{выход}} := \frac{V_{1\_6}}{2 \cdot 3600} \cdot \frac{523 \cdot 101325}{273 \cdot 9 \cdot 10^6} = 3.891$$

Время пребывания газовой смеси в слое катализатора (при пороздности слоя катализатора) [27]  $\varepsilon := 0.4$ 

фиктивное, c: 
$$\tau_{\varphi} := \frac{V_{\text{катализатора}}}{V_{\text{выход}}} = 35.985$$
 истинное, c:  $\tau_{\varphi} \cdot \epsilon = 14.394$ 

Объемный расход газовой смеси на входе в реактор составляет (рассчитано ранее), м $^3$ /ч:  $V_{\text{вход}} := 1306668.6$ 

Объемная скорость газовой смеси равна,  $4^1$ :

$$V_{\text{об}} := \frac{V_{\text{вход}}}{V_{\text{катализатора}}} = 9.333 \times 10^3$$

Высота слоя катализатора в реакторе h, м:  $S := 0.785 \cdot D^2 = 15.198 \text{ м}^2$   $h := \frac{V_{\text{катализатора}}}{S} = 9.212$  при общей высоте реактора 17,5 м.

Диаметр штуцеров для входа и выхода газов (жидкостей), м:

$$d_{\text{BX}} := 1.13 \sqrt{\frac{\frac{V_{\text{вход}}}{2 \cdot 3600} \cdot \frac{483 \cdot 101325}{273 \cdot 9 \cdot 10^6}}{\omega}} = 0.48$$

$$Oптимальная скорость движения реагентов  $\omega := 20 \text{ м/c } [27]$ 

$$d_{\text{вых}} := 1.13 \sqrt{\frac{V_{\text{выход}}}{\omega}} = 0.498$$$$

#### 3.4 Расчет теплообменника

Исходные данные: Температура газа на выходе из колонны синтеза - 250°C Состав газа (табл. Материальный баланс);

Плотность газа [29] - 0,486 кг/м³ (трубное пространство), давление 9 МПа Количество газа, поступающего в межтрубное пространство -1.111  $\times$  10 $^6$  м³/ч; доля холодных байпасов от общей газовой нагрузки принята 15%, отсюда :1306668.65\*0.85=1.111\*10

Давление - 9МПа ,температура газа на входе - 5 $^{\circ}$ С на выходе - 2 $^{\circ}$ С Плотность газа - 0,465 кг/м $^{3}$  [29](межтрубное пространство)

Уравнение теплового баланса теплообменника [29]:

$$\begin{array}{c} V_{\text{BX.Tp}} \cdot \pmb{\gamma}_{\text{Tp}} \cdot \begin{pmatrix} C_{\text{pBX.Tp}} \cdot t_{\text{BX.Tp}} & \dots \\ + C_{\text{pBbIX.Tp}} \cdot t_{\text{BbIX.Tp}} \end{pmatrix} = \blacksquare \cdot V_{\text{BX.MTp}} \cdot \pmb{\gamma}_{\text{MTp}} \cdot \begin{pmatrix} C_{\text{pBX.MTp}} \cdot t_{\text{BX.MTp}} & \dots \\ + C_{\text{pBbIX.MTp}} \cdot t_{\text{BbIX.MTp}} \end{pmatrix}$$

где индексы обозначают - вх.тр - вход в трубное пространство; вых.мтр - выход их межтрубного пространства.

Теплоемкость газовой смеси в трубном пространстве при 250°C составляет:  $C = a + bt + c/t^2$ , где a,b,c - коэффициенты

$$\begin{split} &C_{pCO2} := 41.14 + 9.04 \cdot 250 + \frac{(-8.53)}{250^2} = 2.301 \times 10^3 \quad \text{Дж/кг*°°C} \\ &C_{pCO} := 28.41 + 4.10 \cdot 250 + \frac{(-0.46)}{250^2} = 1.053 \times 10^3 \quad \text{Дж/кг*°°C} \\ &C_{pH2} := 27.28 + 3.26 \cdot 250 + \frac{0.502}{250^2} = 842.28 \quad \text{Дж/кг*°°C} \\ &C_{pCH4} := 17.45 + 60.46 \cdot 250 + \frac{(-1.117)}{250^2} = 1.513 \times 10^4 \quad \text{Дж/кг*°°C} \\ &C_{pN2} := 27.87 + 4.27 \cdot 250 = 1.095 \times 10^3 \quad \text{Дж/кг*°°C} \\ &C_{pH2O} := 30 + 10.71 \cdot 250 + \frac{0.33}{250^2} = 2.708 \times 10^3 \quad \text{Дж/кг*°°C} \end{split}$$

$$C_{pCH3OH} := 15.28 + 3.26 \cdot 250 + \frac{(-31.04)}{250^2} = 830.28$$
 Дж/кг\*°С

Массовые доли компонентов, кмоль (поток 6):

$$\begin{split} \mathbf{n}_{\mathrm{CO2}} &:= \frac{V_{1\_6\mathrm{CO2}}}{22.4} = 1.106 \times 10^3 & \mathbf{n}_{\mathrm{CH4}} := \frac{V_{1\_6\mathrm{CH4}}}{22.4} = 7.088 \times 10^3 \\ \mathbf{n}_{\mathrm{CO}} &:= \frac{V_{1\_6\mathrm{CO}}}{22.4} = 484.097 & \mathbf{n}_{\mathrm{N2}} := \frac{V_{1\_6\mathrm{N2}}}{22.4} = 420.377 \\ \mathbf{n}_{\mathrm{H2}} &:= \frac{V_{1\_6\mathrm{H2}}}{22.4} = 4.232 \times 10^4 & \mathbf{n}_{\mathrm{CH3OH}} := \frac{V_{1\_6\mathrm{H3OH}}}{22.4} = 2.186 \times 10^3 \\ \mathbf{n}_{\mathrm{H2O}} &:= \frac{V_{1\_6\mathrm{H2O}}}{22.4} = 606.28 \\ \mathbf{C}_{\mathrm{pbx.tp}} &:= \left(\frac{\mathbf{n}_{\mathrm{CO2}}}{1000} \cdot \mathbf{C}_{\mathrm{pCO2}} + \frac{\mathbf{n}_{\mathrm{CO}}}{1000} \cdot \mathbf{C}_{\mathrm{pCO}} \right. \dots & = 1.499 \times 10^5 \\ &+ \frac{\mathbf{n}_{\mathrm{H2}}}{1000} \cdot \mathbf{C}_{\mathrm{pH2}} + \frac{\mathbf{n}_{\mathrm{CH3OH}}}{1000} \cdot \mathbf{C}_{\mathrm{pCH4}} \dots \\ &+ \frac{\mathbf{n}_{\mathrm{N2}}}{1000} \cdot \mathbf{C}_{\mathrm{pN2}} + \frac{\mathbf{n}_{\mathrm{CH3OH}}}{1000} \cdot \mathbf{C}_{\mathrm{pCH3OH}} \dots \\ &+ \frac{\mathbf{n}_{\mathrm{H2O}}}{1000} \cdot \mathbf{C}_{\mathrm{pH2O}} & 0 \end{split}$$

В межтрубном пространстве при 50°С, Дж/кг\*С:

$$C_{p1CO2} := 41.14 + 9.04 \cdot 50 + \frac{(-8.53)}{50^2} = 493.137$$

$$C_{p1CO} := 28.41 + 4.10 \cdot 50 + \frac{(-0.46)}{50^2} = 233.41$$

$$C_{p1H2} := 27.28 + 3.26 \cdot 50 + \frac{0.502}{50^2} = 190.28$$

$$C_{p1CH4} := 17.45 + 60.46 \cdot 50 + \frac{(-1.117)}{50^2} = 3.04 \times 10^3$$

$$C_{p1N2} := 27.87 + 4.27 \cdot 50 = 241.37$$

$$C_{p1CH3OH} := 15.28 + 3.26 \cdot 50 + \frac{(-31.04)}{50^2} = 178.268$$

$$C_{p1H2O} := 30 + 10.71 \cdot 50 + \frac{0.33}{50^2} = 565.5$$

Массовые доли компонентов, кмоль (поток 3):

$$n_{2CO2} := \frac{37273.44}{22.4} = 1.664 \times 10^3 \qquad n_{2CH4} := \frac{158510.21}{22.4} = 7.076 \times 10^3$$

$$n_{2CO} := \frac{46166.75}{22.4} = 2.061 \times 10^3 \qquad n_{2N2} := \frac{9416.45}{22.4} = 420.377$$

$$\begin{split} n_{2H2} \coloneqq \frac{1051111.01}{22.4} &= 4.692 \times 10^4 & n_{2CH3OH} \coloneqq \frac{5100.58}{22.4} = 227.704 \\ n_{2H2O} &\coloneqq \frac{261.57}{22.4} = 11.677 \\ C_{\text{рв.мтр}} \coloneqq \left(\frac{n_{\text{CO2}}}{1000} \cdot C_{\text{p1CO2}} + \frac{n_{2CO}}{1000} \cdot C_{\text{p1CO}} \right) &= 3.162 \times 10^4 \text{ Дж/кг*°C} : \end{split}$$

$$\begin{split} C_{\text{pB.MTp}} := & \left( \frac{n_{\text{CO2}}}{1000} \cdot C_{\text{p1CO2}} + \frac{n_{\text{2CO}}}{1000} \cdot C_{\text{p1CO}} \dots \right) = 3.162 \times 10^4 \text{ //} \\ & + \frac{n_{\text{2H2}}}{1000} \cdot C_{\text{p1H2}} + \frac{n_{\text{2CH4}}}{1000} \cdot C_{\text{p1CH4}} \dots \\ & + \frac{n_{\text{2N2}}}{1000} \cdot C_{\text{p1N2}} + \frac{n_{\text{2CH3OH}}}{1000} \cdot C_{\text{p1CH3OH}} \dots \\ & + \frac{n_{\text{2H2O}}}{1000} \cdot C_{\text{p1H2O}} \end{split}$$

В межтрубном пространстве при 210 °С, Дж/кг\*оС:

$$\begin{split} \mathbf{C}_{\mathrm{p2CO2}} &:= 41.14 + 9.04 \cdot 210 + \frac{(-8.53)}{210^2} = 1.94 \times 10^3 \\ \mathbf{C}_{\mathrm{p2CH4}} &:= 17.45 + 60.46 \cdot 210 + \frac{(-1.117)}{210^2} = 1.271 \times 10^4 \\ \mathbf{C}_{\mathrm{p2CO}} &:= 28.41 + 4.10 \cdot 210 + \frac{(-0.46)}{210^2} = 889.41 \\ \mathbf{C}_{\mathrm{p2N2}} &:= 27.87 + 4.27 \cdot 210 = 924.57 \\ \mathbf{C}_{\mathrm{p2H2}} &:= 27.28 + 3.26 \cdot 210 + \frac{0.502}{210^2} = 711.88 \\ \mathbf{C}_{\mathrm{p2CH3OH}} &:= 15.28 + 3.26 \cdot 210 + \frac{(-31.04)}{210^2} = 699.879 \\ \mathbf{C}_{\mathrm{p2H2O}} &:= 30 + 10.71 \cdot 210 + \frac{0.33}{210^2} = 2.279 \times 10^3 \\ \mathbf{C}_{\mathrm{pBbix.mtp}} &:= \left(\frac{n_{2\mathrm{CO2}}}{1000} \cdot \mathbf{C}_{\mathrm{p2CO2}} + \frac{n_{2\mathrm{CO}}}{1000} \cdot \mathbf{C}_{\mathrm{p2CO}} \dots \right) = 1.29 \times 10^5 \\ &+ \frac{n_{2\mathrm{H2}}}{1000} \cdot \mathbf{C}_{\mathrm{p2H2}} + \frac{n_{2\mathrm{CH4}}}{1000} \cdot \mathbf{C}_{\mathrm{p2CH4}} \dots \\ &+ \frac{n_{2\mathrm{N2}}}{1000} \cdot \mathbf{C}_{\mathrm{p2N2}} + \frac{n_{2\mathrm{CH3OH}}}{1000} \cdot \mathbf{C}_{\mathrm{p2CH3OH}} \dots \\ &+ \frac{n_{2\mathrm{H2O}}}{1000} \cdot \mathbf{C}_{\mathrm{p2H2O}} \right) \end{split}$$

Подставляем значения величин в уравнение теплового баланса:

1213377 ... 
$$+ 0.486 \cdot \left( C_{\text{pbx.Tp}} \cdot 523 \dots \right) + 0.465 \cdot \left( C_{\text{pb.MTp}} \cdot 483 \dots \right) + 0.465 \cdot \left( C_{\text{pb.MTp}} \cdot 483 \dots \right) + C_{\text{pbbix.MTp}} \cdot 323$$

$$t_{\text{вых.тр}} \coloneqq \frac{C_{\text{рв.х.тр}} \cdot 523 - \frac{1.111 \cdot 10^6 \cdot 0.465 \cdot \left(C_{\text{рвых.мтр}} \cdot 483 \dots\right)}{1213377.49 \cdot 0.486}}{1.28 \times 10^5} = 116.005$$
 Определение поверхности теплообменника

Трубное пространство

Средняя температура газа, <sup>о</sup>С:

$$t_{\text{cp.Tp}} := \frac{250 + t_{\text{BMX.Tp}}}{2} = 183.002$$

объем газа при реальных условиях, м<sup>3</sup>:

$$V_{pTp} := \frac{1213377.49 \cdot (273 + t_{cp.Tp})}{90 \cdot 273} = 2.252 \times 10^4$$

Масса газа, кг:  $G_{\text{тр}} := 1213377.49 \cdot 0.486 = 5.897 \times 10^5$ 

Живое сечение трубного пространства, м<sup>2</sup> [29]:

 $S_{TD} := 0.452$ 

линейная скорость газа, м/с:

$$\omega_{\rm TP} := \frac{V_{\rm pTP}}{3600 \cdot S_{\rm TP}} = 13.839$$

Массовая скорость газа, кг/(м²\*с):

$$g_{Tp} := \frac{G_{Tp}}{3600 \cdot S_{Tp}} = 362.403$$

Теплоемкость газа при  $t = 183^{\circ}$ C, Дж/(кг\* $^{\circ}$ C):

$$C_{prp} := \frac{C_{pbx.rp} \cdot 523 - \frac{1.111 \cdot 10^{6} \cdot 0.465 \cdot \left(C_{pbbix.mrp} \cdot 483 \dots\right)}{\left(+C_{pb.mrp} \cdot 323\right)}}{\left(t_{cp.rp} + 273\right)} = 3.256 \times 10^{4}$$

Коэффициент динамической вязкости газа, Па\*с [29]:

$$\mu_{\text{Tp1}} \coloneqq 0.000028$$
 или  $\mu_{\text{Tp2}} \coloneqq 0.1008 \, \text{kg/(m*q)}$ 

Теплопроводность газа, ккал/(м\*ч\*<sup>©</sup>C):

$$\lambda_{\mathrm{Tp1}} \coloneqq 432.07\,\mathrm{Дж/(кг^{*o}C)}$$
 или  $\lambda_{\mathrm{Tp2}} \coloneqq 0.1032$  ккал/(м\*ч\*°C)

Критерий Прандтля: 
$$\mathrm{Pr}_{\mathrm{Tp}} := \frac{\mathrm{C}_{\mathrm{pTp}} \cdot \mu_{\mathrm{Tp2}}}{\lambda_{\mathrm{Tp1}}} = 7.597$$

Тепло, переданное газом, выходящим из колонны синтеза, Дж/ч:

$$Q_{\mathrm{TP}} \coloneqq 189772 \cdot 3600000 = 6.832 \times 10^{11}$$
 где  $189772$  - количество тепла на выходе из колонны, кВт

$$A_{Tp} := 14 \cdot \frac{\lambda_{Tp2}}{\mu_{Tp2}} \cdot \left(\frac{Pr_{Tp}}{0.73}\right)^{0.4} = 23.119$$

Коэффициент теплоотдачи газа, проходящего по трубному пространству, к стенкам трубок [30]:

$$d_{BH} := 0.0014$$

$$\begin{split} &\alpha_{\text{тр1}} := A_{\text{тр}} \cdot g_{\text{тр}}^{\phantom{\text{\text{0.8}}}} \cdot d_{\text{вн}}^{\phantom{\text{\text{\text{--0.2}}}}} = 9.603 \times 10^3 \ \text{ккал/(м²*ч*°C)} \ \text{или} \\ &\alpha_{\text{тр2}} := \alpha_{\text{тр1}} \cdot 4.184 = 4.018 \times 10^4 \ \text{кДж/(м²*ч*°C)} \end{split}$$

Межтрубное пространство:

$$\begin{split} t_{\text{cp.MTp}} &:= \frac{50 + 210}{2} = 130 \quad ^{o}\text{C} \\ V_{\text{pMTp}} &:= \frac{1.111 \cdot 10^{6} \cdot \left|\ 273 + t_{\text{cp.MTp}}\right|}{90 \cdot 273} = 1.822 \times 10^{4} \text{ m}^{3} \\ G_{\text{MTp}} &:= 1.111 \cdot 10^{6} \cdot 0.465 = 5.166 \times 10^{5} \text{ kg} \end{split}$$

Живое сечение межтрубного пространства между перегородками, м2:

$$S_{\text{мтр}} := 0.566$$
 линейная скорость  $\omega_{\text{мтр}} := \frac{V_{\text{рмтр}}}{3600 \cdot S_{\text{мтр}}} = 8.943$  газа, м/с:  $g_{\text{мтр}} := \frac{G_{\text{мтр}}}{3600 \cdot 0.45} = 318.898$  кг/(м²\*с):

Теплоемкость газа, Дж/(кг\*оС):

$$C_{pmtp} := \frac{C_{pbx.tp} \cdot 523 - \frac{1.111 \cdot 10^6 \cdot 0.465 \cdot \left(C_{pbbix.mtp} \cdot 483 \dots\right)}{\left(+C_{pb.mtp} \cdot 323 \right)}}{\left|t_{cp.mtp} + 273\right|} = 3.685 \times 10^4$$

Коэффициент динамической  $\mu_{\text{мтр1}} := 0.0000207$   $\mu_{\text{мтр2}} := 0.074 \, \text{кг/(м*ч)}$  вязкости,  $\Pi a * c [29]$ :

Теплопроводность газа, ккал/(м\*ч\*°C) [29]

$$\begin{split} &\lambda_{\text{MTp1}} := 319.45 \quad \text{Дж/(кг*°C)} \quad \text{или} \quad \lambda_{\text{MTp2}} := 0.0736 \quad \text{ккал/(м*ч*°C)} \\ &\text{Критерий} \\ &\text{Прандтля:} \quad \text{Pr}_{\text{MTp}} := \frac{C_{\text{pмтp}} \cdot \mu_{\text{MTp2}}}{\lambda_{\text{MTp1}}} = 8.535 \qquad \quad \text{Pr} := \frac{\text{Pr}_{\text{Tp}} + \text{Pr}_{\text{MTp}}}{2} = 8.066 \end{split}$$

Коэффициент теплоотдачи газа от стенок трубок к газу, движущемуся в межтрубном пространстве:

$$A_{\text{mtp}} \coloneqq 0.385 \cdot 3600^{0.56} \cdot \frac{\lambda_{\text{mtp2}}}{\mu_{\text{mtp2}}^{0.56}} \cdot \text{Pr}^{0.3} = 22.341$$

$$K_1:=1.3$$
 при шахматном расположении трубок [29]  $K_2:=0.6$   $d_{_{\rm H}}:=0.016$   $\alpha_{_{\rm MTP1}}:=K_1\cdot K_2A_{_{\rm MTP}}\cdot g_{_{\rm MTP}}\overset{0.56}{\cdot}\cdot d_{_{\rm H}}\overset{-0.44}{\cdot}=2.713\times 10^3$  ккал/(м²\*ч\*°С) или  $\alpha_{_{\rm MTP2}}:=\alpha_{_{\rm MTP1}}\cdot 4.184=1.135\times 10^4$  кДж/(м²\*ч\*°С)

Коэффициент теплопередачи( без учета загрязнений стенок трубок),

кДж/(м²\*ч\*°С): толщина теплопередающей 
$$\delta_{\text{ст}} := 0.0014$$
 стенки аппарата, м [29] ко  $K := \frac{1}{\left(\frac{1}{\alpha_{\text{тр2}}}\right) + \left(\frac{\delta_{\text{ст}}}{\lambda_{\text{ст}}}\right) + \left(\frac{1}{\alpha_{\text{мтр2}}}\right)} = 7.392 \times 10^3$ 

 $\lambda_{ct} := 62.802$  коэффициент теплопроводности материала стенки, Bt/(M) град) [29]

Средняя разность температур в теплообменнике:

$$^{250}$$
 трубное  $^{116}$   $^{210}$  межтрубное пространство  $^{50}$ 

Поверхность теплообмена определяется по формуле, м<sup>2</sup> [29]:

$$F := \frac{Q_{\text{rp}}}{K\Delta t_{\text{cp}} \cdot 1000} = 1.744 \times 10^3$$

Запас поверхности теплообмена, учитывая, что поверхность принятого теплообменника равна 1900 м<sup>2</sup>,составляет, %:

Запас := 
$$\frac{1990 - F}{F} \cdot 100 = 14.116$$

#### ЗАКЛЮЧЕНИЕ

В представленной бакалаврской работе разработана технология получения технического метанола.

По итогам работы:

Выполнен литературный обзор по: гидросероочистке природного газа, получению синтез-газа, физико-химическим основам синтеза метанола, методам и технологическим особенностям узлов синтеза и выделения метанола, конструктивным особенностям реакторов синтеза.

Разработан технологический процесс получения метанола, представлены аппаратурно-технологические схемы синтеза и выделения.

Проведены расчеты материального, теплового баланса производства при повышенной нагрузке, на основании которых было подобрано реакционное и теплообменное оборудование.

Представленная технологическая схема позволяет обеспечить общую производительность, составляющую 500 000 тонн в год.

# СПИСОК ИСПОЛЬЗОВАННОЙ ЛИТЕРАТУРЫ

- 1. Технологический регламент производства метанола мощностью 450тыс тонн в год. ОАО «Тольяттиазот». 113с.
- Демидов, Д.В. Пароуглекислотная конверсия метана как метод получения синтез газа заданного состава для малогабаритных производств метанола и синтетических углеводородов/ Д.В. Демидов, М.Б. Розенкевич, Ю.А. Сахаровский // Инновации в науке. 2012. №8-1.— С.15.
- 3. Тимофеев, В.С. Принципы технологии основного органического и нефтехимического синтеза: учеб. пособие для вузов/ В.С.Тимофеев, Л.А. Серафимов. 2-е изд., перераб. М.: Высш. шк., 2003. 536 с.
- 4. M. Behrens, F. Girgsdies, A. Trunschke, R. Schlögl, Minerals as model compounds for Cu/ZnO catalyst precursors: Structural and thermal properties and IR spectra of mineral and synthetic (zincian) malachite, rosasite and aurichalcite and a catalyst precursor mixture. Eur.J. Inorg. Chem. 1347–1357 (2009).
- 5. Технология синтетического метанола/ М.М. Караваев, В.Е. Леонов, И.Г. Попов [и др.]; Под ред. Проф. Караваева М.М. М.: Химия, 1984. -240с.
- 6. Methanol Technologies: Methanol plants keep getting bigger, Nitrogen +Syngas, 316, 2012.
- 7. J. Ott, V. Gronemann, F. Pontzen, E. Fiedler, G. Grossmann, B. Kersebohm, G. Weiss, C. Witte, Ullmann's Encyclopedia of Technical Chemistry, 7th edn. (Wiley-VCH Verlag GmbH & Co. KGaA, Weinheim), p. 150, 2013.
- Кутепов, А.М. Общая химическая технология: учеб. для техн. вузов/
   А.М. Кутепов, Т.И Бодарева, М.Г. Беренгартен. 2-е изд., испр. и доп. М.: Высш.шк., 1990 520с.

- 9. Калечиц, И.В. Химические вещества из угля. Пер. с нем./ Под ред. И.В. Калечица – М.: Химия, 1980. – 616с.
- 10. Мищенко, К.П. Краткий справочник физико химических величин/ Под ред. К.П. Мищенко и А.А. Равделя, Л.: Химия, 1974г. 200с.
- Патент на полезную модель Российская Федерация, МПК В01Ј8/08 Реактор синтеза метанола/ В.Н. Махлай, С.В. Афанасьев, А.В. Макаров, В.А. Семенова и др; №2006106110/04. Заявл. 28.02.06. опубл. 20.08.08. Бюл. №23.
- 12. Орлов А.А. Современные технологии производства метанола в разработках фирмы «Метанол Казале»/ А.С. Хорьков, Метанол Казале//Газохимия. 2009. №7. С.1-9.
- 13. T. Wurzel, Lurgi MegaMethanol Technology-Delivering the Building Blocks for the Future. Fuel and Monomer demand. Oil Gas Eur. Mag., 2, 92–96 (2007).
- D.L. Chiavassa, S.E. Collins, A.L. Bonivardi, M.A. Baltanás, Chem. Eng. J. 150, 204–212.
- 15. U. Zardi, G. Pagani, US Patent 5756048, 1998.
- Питер М Робертс, Крупнотоннажные метанольные агрегаты альтернативный путь модернизации природного газа/ М.В.Тарарышкин// Компания Джонсон Матти, Великобритания ,Creon Methanol Conference Moscow May 2006. -14c.
- 17. I. Dincer, Int. J. Hydrogen Energy 37, 1954–1971 (2012)
- 18. ГОСТ 2222 95 Метанол технический, 1995. 19 с.
- 19. J.B. Hansen, in AIChE National Meeting, Conference Proceedings 100-115 (1990).
- 20. J.-L. Wang, C.-X. Miao, X.-Y. Dou, J. Gao, L.-N. He, Curr. Org. Chem. 15(5), 621–646 (2011).
- 21. Касаткин, А.Г. Основные процессы и аппараты химической технологии/ А.Г. Касаткин. М.: Химия, 1973. 784 с.

- 22. Рид. Р. Свойства газов и жидкостей/ Р. Рид, Дж. Праусниц, Т. Шервуд.- пер с англ.- Л.: Химия, 1982. 592 с.
- 23. Справочник химика, т.1. М.: Химия, 1962. -752с.
- 24. Общая химическая технология: учебник для химико-технологических специальностей/ под ред. И.П. Мухлёнова. Т.2. Важнейшие химические производства. М.: Высш. шк., 1984. 264 с.
- 25. Вредные вещества в промышленности. Справочник для химиков, инженеров и врачей. Изд. 7-е, пер. и доп. В трех томах. Т.3. Неорганические и элементорганические соединения. Под ред. Лазарева Н.В., Левиной Э.Н. Л.: Химия, 1977. -608с.
- 26. Вредные вещества в промышленности. Справочник для химиков, инженеров и врачей. Изд. 7-е, пер. и доп. В трех томах. Т.1. Органические вещества. Под ред. Лазарева Н.В., Левиной Э.Н. Л.: Химия, 1976. -592с.
- 27. Гутник, С.П. Расчеты по технологии органического синтеза/ С.П. Гутник. М: Химия, 1988. 272 с.
- 28. Лебедев Н.Н. Химия и технология основного и нефтехимического синтеза: Учебник для вузов. М: Химия, 1981. 608 с.
- 29. Методы расчетов по технологии связанного азота/под ред. В.И. Атрощенко. 2-е изд. Киев, издательское объединение «Вища школа», 1978, 312с.
- Основные процессы и аппараты химической технологии. Пособие по проектированию / под ред. Ю.И.Дытнерского. М.: Химия, 1991. 496 с.

### ПРИЛОЖЕНИЕ А

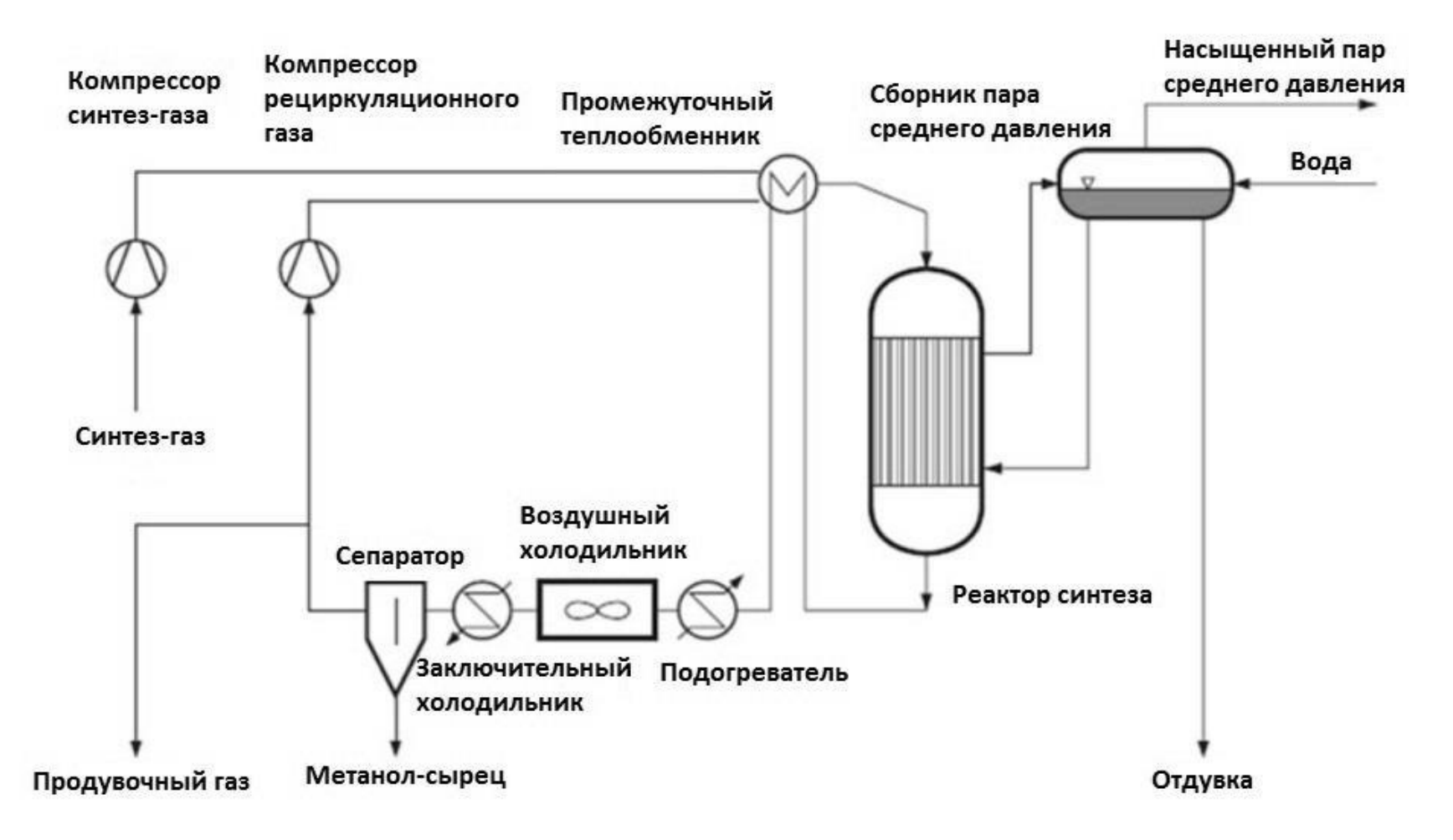


рис. П.А.1.Технологическая схема синтеза компании «Lurgi»

# ПРИЛОЖЕНИЕ Б

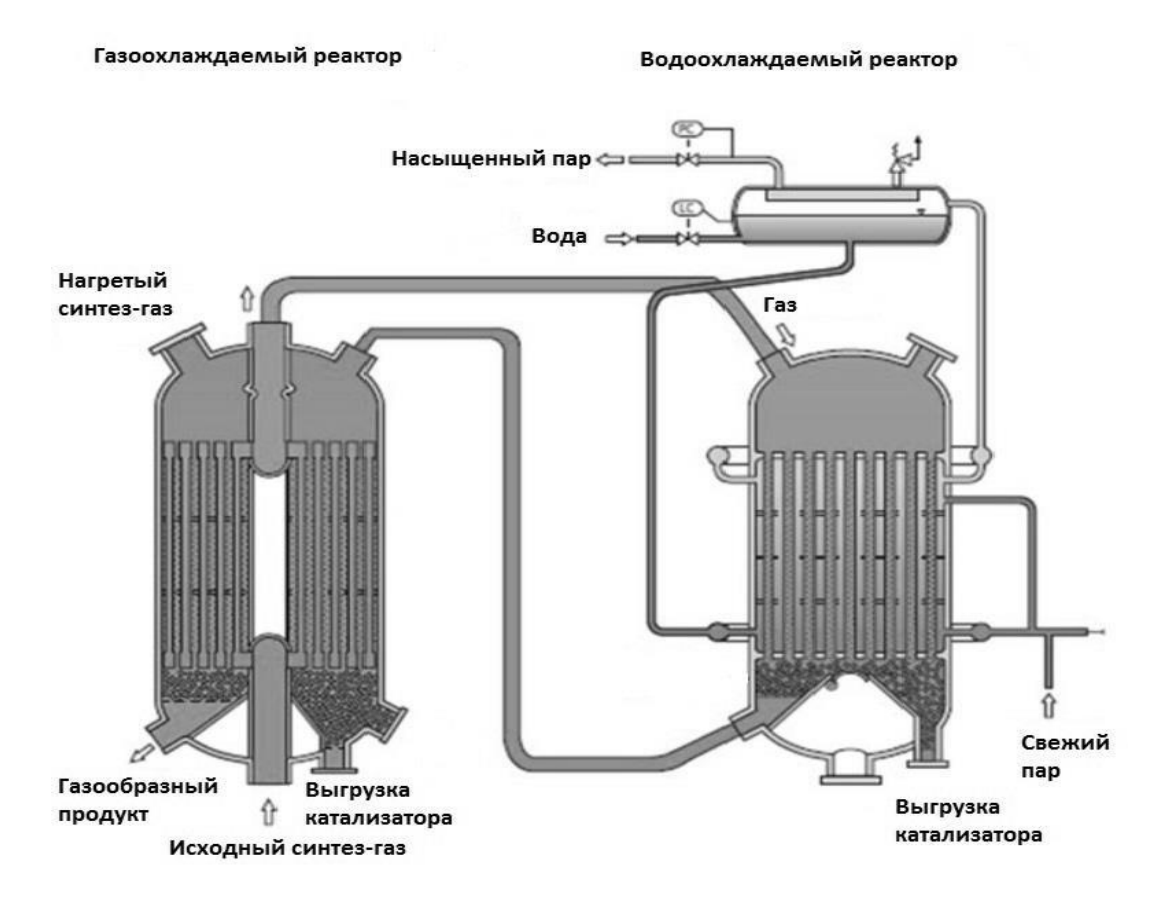


рис. П.Б.1. Система реакторов компании «Lurgi»

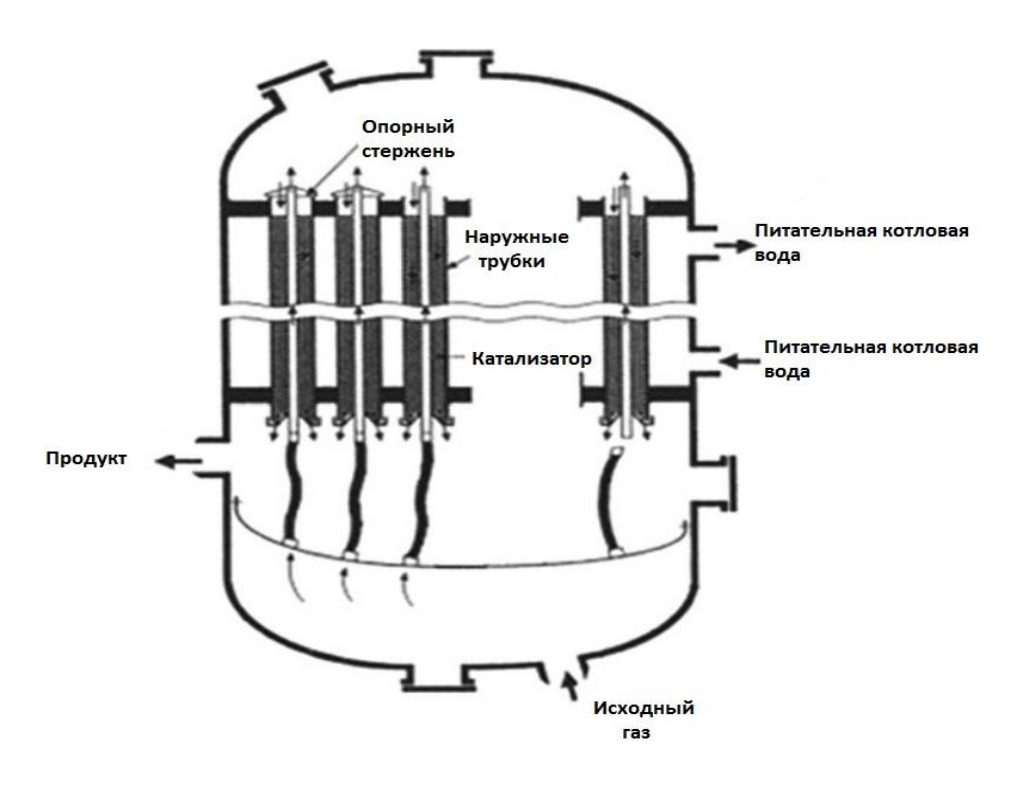


рис. П.Б.2. Реактор компании «Mitsubishi Heavy Industries»

# приложение в

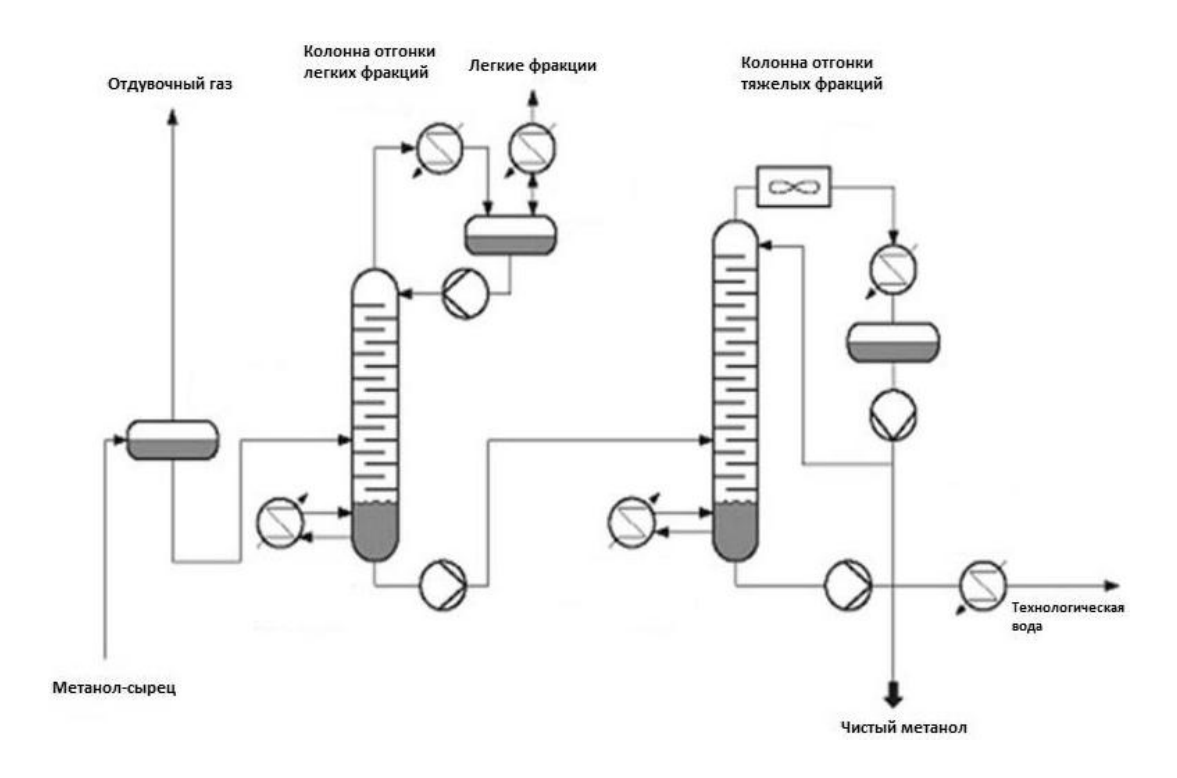


рис. П.В.1.Технологическая схема двухколонной ректификации

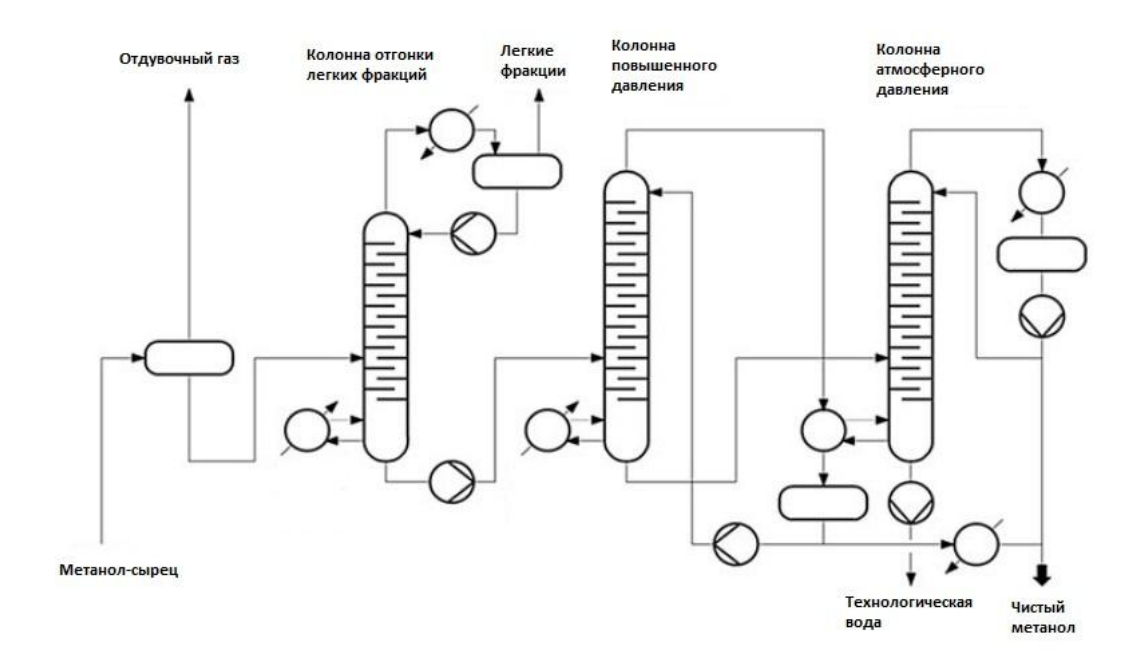


рис. П.В.2.Технологическая схема трехколонной ректификации

# ПРИЛОЖЕНИЕ Г

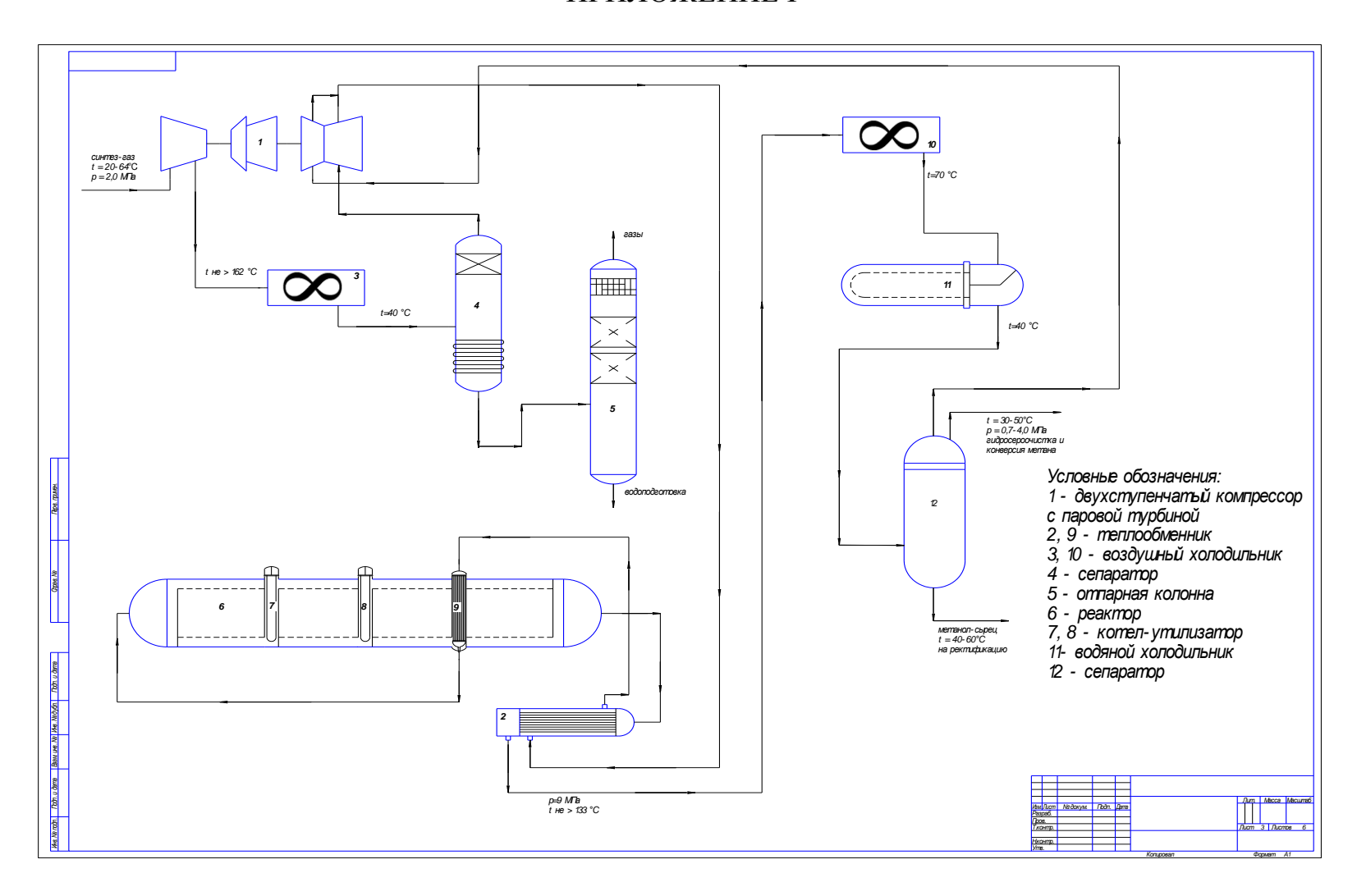


рис. П.Г.1.Технологическая схема узла синтеза метанола

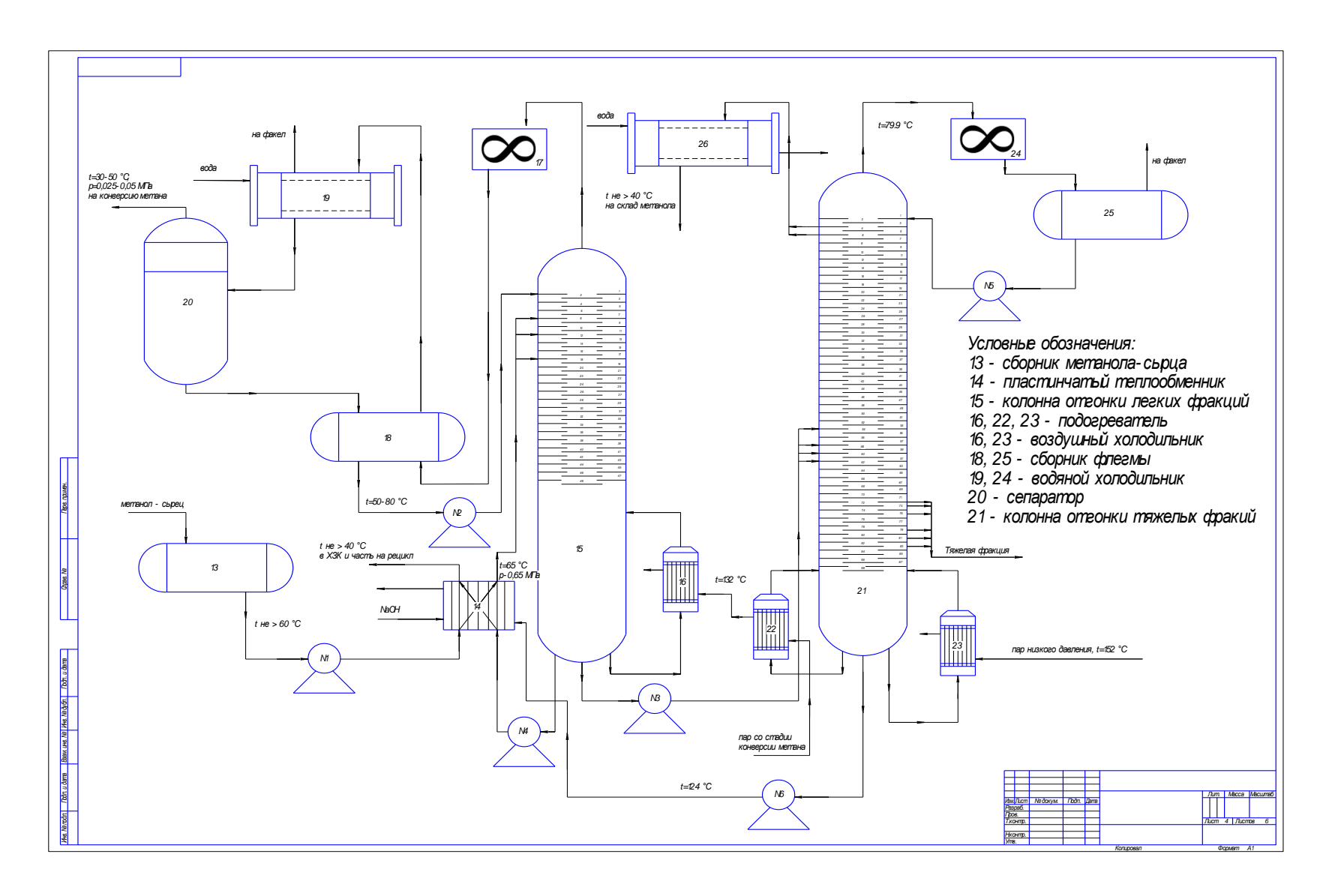


рис. П.Г.2.Технологическая схема узла выделения метанола

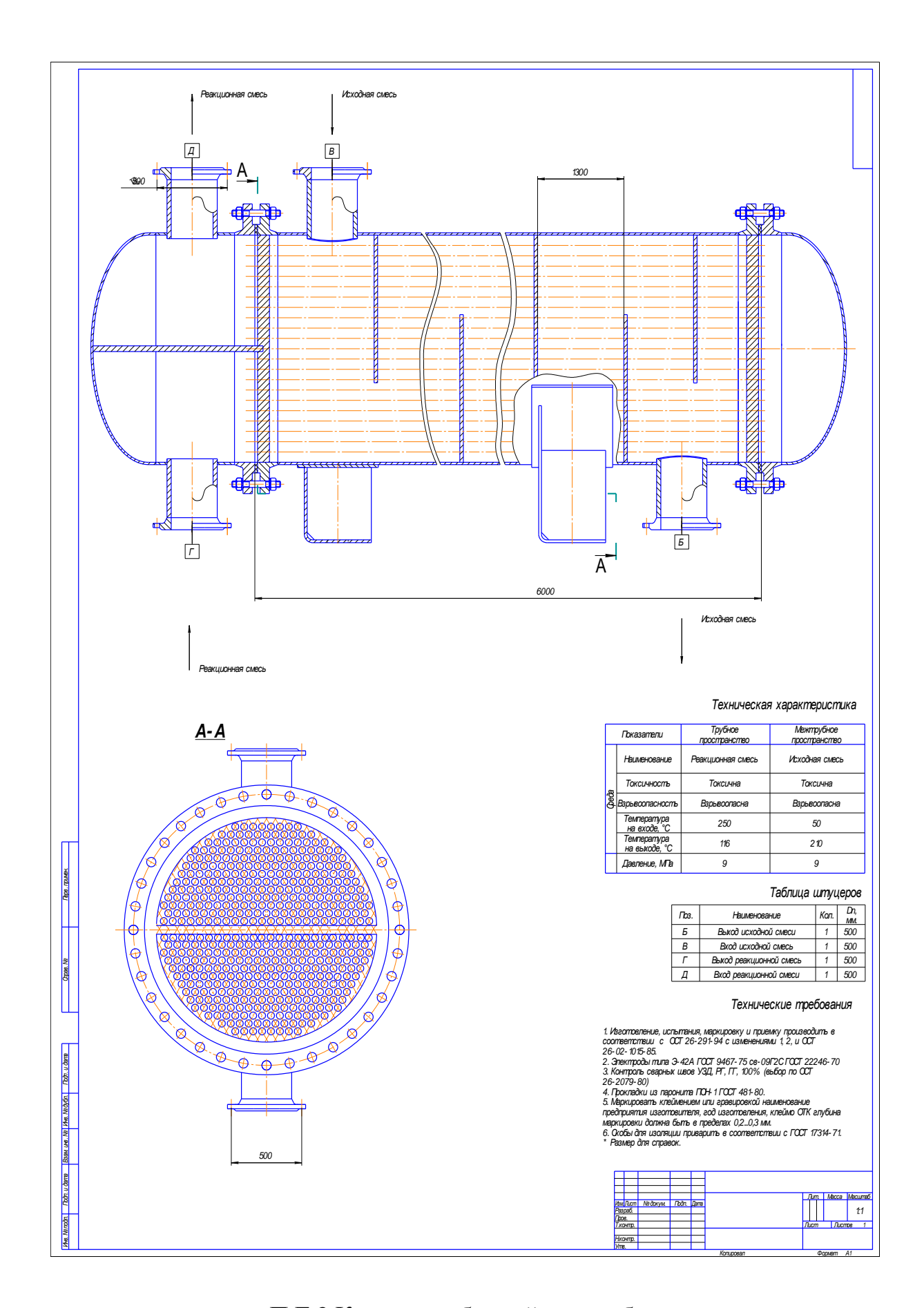


рис. П.Г.З.Кожухотрубчатый теплообменник